



สารบัญ

บทคัดย่อภาษาไทย, ภาษาอังกฤษ หน้า
1

บทที่

- | | |
|---|----|
| 1. บทนำ | 2 |
| 2. ทฤษฎีและหลักการพื้นฐานทางแม่เหล็ก | 4 |
| 3. ขั้นตอนในการออกแบบและสร้างเครื่องมือ | 17 |
| 4. ผลการทดลองวัดอุณหภูมิวิกฤตของสารแม่เหล็ก | 38 |
| 5. สรุปผลการวิจัยและข้อเสนอแนะ | 42 |

เอกสารอ้างอิง 44

RCH
QC
755.64
ว549ค

เลขหมู่.....
เลขทะเบียน **117417**
วัน,เดือน,ปี **-4 ต.ค. 2554**

b. 1120834x
i.....

เอกสารนี้เป็นเอกสารที่สงวนไว้สำหรับการใช้งานเพื่อการศึกษาเท่านั้น ไม่อนุญาตให้นำไปใช้ประโยชน์ด้านการค้า
ไม่ว่ากรณีใดๆทั้งสิ้น อีกทั้งห้ามมิให้ดัดแปลงเนื้อหา และต้องอ้างอิงถึงเจ้าของเอกสารทุกครั้งที่มีการนำไปใช้

บทที่ 1

บทนำ

ปัจจุบันสารแม่เหล็กมีบทบาทมากขึ้นในอุตสาหกรรม ทั้งนี้เนื่องจากเครื่องมือ และอุปกรณ์ต่างๆ มักจะมีสารแม่เหล็กเป็นส่วนประกอบอยู่เสมอ ลักษณะสมบัติทางแม่เหล็ก แต่ละประเภทแสดงถึงความเหมาะสมของการนำไปใช้งาน ดังนั้น การวัดคุณสมบัติทางแม่เหล็กของสารแม่เหล็กจึงมีความจำเป็นต่อการเลือกสารแม่เหล็ก ที่จะนำไปใช้งาน โดยเฉพาะอย่างยิ่งในอุตสาหกรรมประเภทเครื่องเสียง อุตสาหกรรมเครื่องมือวัด และอุตสาหกรรมการสร้างมอเตอร์ไฟฟ้า เป็นต้น

โครงการพิเศษนี้จึงได้ทำการออกแบบและสร้างส่วนประกอบต่างๆของเครื่องมือในการวัดคุณสมบัติทางแม่เหล็กขึ้น เครื่องมือนี้เรียกว่า เครื่องมือวัดคุณสมบัติของสารแม่เหล็ก เป็นเครื่องมือที่ใช้วัดคุณสมบัติต่างๆ ทางแม่เหล็ก โดยคุณสมบัติของสารแม่เหล็กจะเป็นค่าที่บอกถึงอุณหภูมิสุดท้ายที่สารแม่เหล็กมีการเหนี่ยวนำได้ โดยผู้ผลิตหรือนักวิเคราะห์ที่จะพยายามไม่เลือกวัสดุให้เกิดอุณหภูมิ T_c นี้ ซึ่งโครงการพิเศษนี้จึงสามารถบอกลักษณะความสัมพันธ์ของค่า μ กับ T ได้อีกด้วย เพื่อให้สามารถเลือกยานในการทำงานที่อุณหภูมิต่างๆ

วัตถุประสงค์

1. เพื่อศึกษาคุณสมบัติทางแม่เหล็กของสารแม่เหล็กชนิดต่างๆ ที่แปรเปลี่ยนกับอุณหภูมิ
2. เพื่อศึกษากระบวนการสร้างเครื่องมือวัดและเรียนรู้เรื่องการทำงานของแท็บ
3. เพื่อลดการนำเข้าของเครื่องมือที่มีราคาแพงจากต่างประเทศ

เอกสารนี้เป็นเอกสารที่สงวนไว้สำหรับการใช้งานเพื่อการศึกษาเท่านั้น ไม่อนุญาตให้นำไปใช้ประโยชน์ด้านการค้า ไม่ว่าจะกรณีใดๆทั้งสิ้น อีกทั้งห้ามมิให้ดัดแปลงเนื้อหา และต้องอ้างอิงถึงเจ้าของเอกสารทุกครั้งที่มีการนำไปใช้

วิธีดำเนินการ

1. ศึกษาหาข้อมูลทางด้านคุณสมบัติของแม่เหล็กชนิดต่างๆ โดยเฉพาะเรื่องอุณหภูมิวิกฤตของสารแม่เหล็ก
2. ทดสอบความเป็นไปได้ของโครงการ
3. สร้งเครื่องวัดและความคุมต่างๆ
4. ทดลองวัดและความคุมเครื่องมือ
5. ตรวจสอบข้อมูลจากการทดลองกับข้อมูลจริง
6. สรุปผลการทดลองและข้อเสนอแนะในการพัฒนาครั้งต่อไป

ประโยชน์ที่ได้รับ

ได้ทราบถึงคุณสมบัติทางแม่เหล็กของสารแม่เหล็กชนิดต่างๆที่แปรเปลี่ยนไปกับอุณหภูมิ และเห็นการพัฒนาเทคโนโลยีเครื่องวัดขึ้นให้แสงสว่างในประเทศ เทคโนโลยีการส่งสัญญาณจากต่างประเทศ



เอกสารนี้เป็นเอกสารที่สงวนไว้สำหรับการใช้งานเพื่อการศึกษาเท่านั้น ไม่อนุญาตให้นำไปใช้ประโยชน์ด้านการค้า
ไม่ว่ากรณีใดๆทั้งสิ้น อีกทั้งห้ามมิให้ตัดแปลงเนื้อหา และต้องอ้างอิงถึงเจ้าของเอกสารทุกครั้งที่มีการนำไปใช้

$$M = (\mu/\mu_0^{-1})H$$

และได้กำหนดความสัมพันธ์ ของ H/M โดยให้

$$\chi_m = M/H$$

χ_m คือ ค่าสภาพอ่อนไหวทางแม่เหล็ก (Magnetic susceptibility) มีความสัมพันธ์กับสภาพซึมซาบทางแม่เหล็กตามสมการ

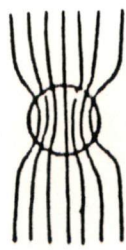
$$\chi_m = \mu_r - 1$$

ชนิดของสารแม่เหล็ก

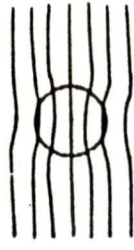
สารแม่เหล็กสามารถแบ่งตามสภาพความเป็นแม่เหล็กได้ 5 ชนิด ดังนี้

1. สารแม่เหล็กไดอะ (Diamagnetic materials)

เมื่อให้เส้นแรงแม่เหล็กกับอะตอมของสารแม่เหล็ก ที่ย่านอะตอมของสารแม่เหล็กไดอะ จะเลื่อนและแยกออก มีเส้นแรงแม่เหล็กที่ผ่านเข้าไปได้น้อยมาก โดยเปรียบเทียบการตัดผ่านเส้นแรงแม่เหล็กในสารชนิดไดอะ พารา และเฟอร์ไรต์ ดังรูปที่ 2.1.1



ก.



ข.

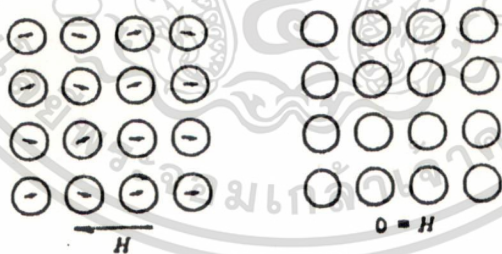


ค.

รูปที่ 2.1.1 แสดงลักษณะเส้นตรงแม่เหล็กที่ผ่านสารแม่เหล็กชนิดต่างๆ

ก. สารแม่เหล็กไดอะ ก. สารแม่เหล็กพารา ค. สารแม่เหล็กเฟอร์โร

สนามแม่เหล็กเหนี่ยวนำที่เกิดขึ้นในสารแม่เหล็กไดอะมีค่าน้อยมากและเป็นลบ ซึ่งหมายความว่า สนามแม่เหล็กไดอะจะผลักเส้นแรงแม่เหล็ก ค่าสนามก่อนไปรวมกับแม่เหล็กของสารมีค่าเป็นลบอยู่ในช่วง -10^{-6} ลักษณะของไดอะในแม่เหล็กของสารแม่เหล็กไดอะเมื่อไม่มีสนามภายนอก แสดงดังรูป 2.1.2 ก และ ข ความคล้าย



ก.

ข.

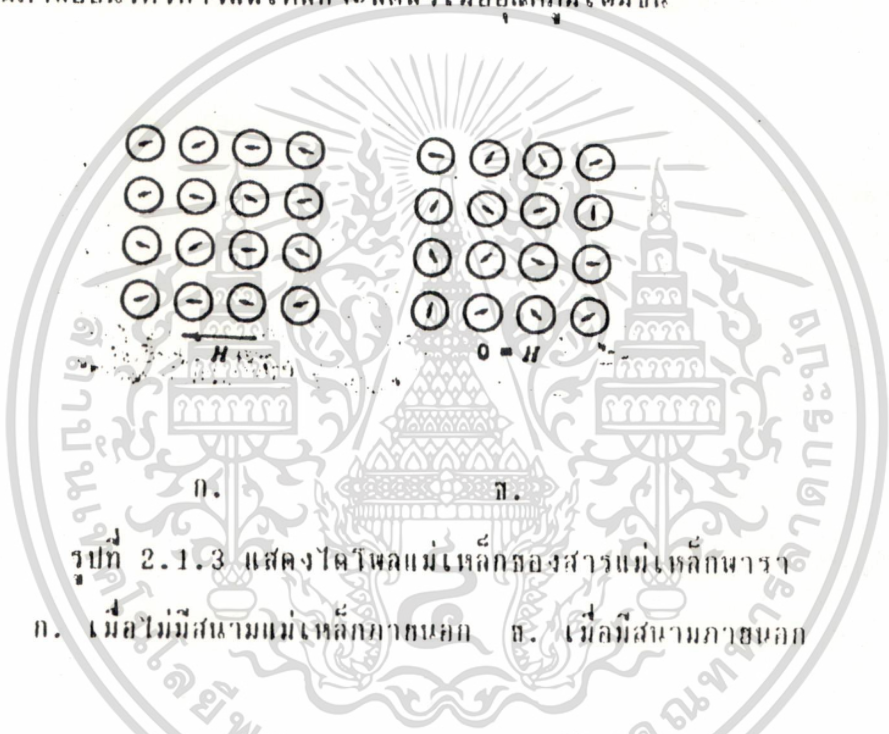
รูปที่ 2.1.2 แสดงไดอะแม่เหล็กของสารแม่เหล็กไดอะ

ก. เมื่อไม่มีสนามภายนอก ข. เมื่อมีสนามภายนอก

เอกสารนี้เป็นเอกสารที่สงวนไว้สำหรับการใช้งานเพื่อการศึกษาเท่านั้น ไม่อนุญาตให้นำไปใช้ประโยชน์ด้านการค้า ไม่ว่าจะกรณีใดๆทั้งสิ้น อีกทั้งห้ามมิให้ดัดแปลงเนื้อหา และต้องอ้างอิงถึงเจ้าของเอกสารทุกครั้งที่มีการนำไปใช้

2. สารแม่เหล็กพารา (Paramagnetic materials)

เป็นสารแม่เหล็กที่มีสภาพแม่เหล็กอ่อนมาก ผลตอบสนองต่อสนามกับแม่เหล็กภายนอกมีค่าน้อย ขณะที่ไม่มีสนามแม่เหล็กภายนอก สารแม่เหล็กพาราจะมีไดโพลแม่เหล็กวางตัวในลักษณะร่วม ผลรวมของไดโพลแม่เหล็กมีค่าเป็นศูนย์ หมายถึง ไม่แสดงอำนาจแม่เหล็กออกมาดังรูปที่ 2.1.3 ก และ ข เมื่อมีเส้นแรงแม่เหล็กตัดผ่าน เส้นแรงแม่เหล็กจะลู่เข้าสู่อะตอมของสารได้ แต่ไม่มากนัก ดังรูป 2.1.1 ข ความเข้มของเส้นแรงแม่เหล็กที่เกิดขึ้นในสารแม่เหล็กพารามีค่าใกล้เคียงกับสุญญากาศ ค่าของสภาพอ่อนไหวทางแม่เหล็ก มีค่าอยู่ในช่วง 10^{-7} ถึง 10^{-6} มีค่าเป็นบวก และไม่ขึ้นกับความเข้มของสนามทำแม่เหล็กค่าสภาพอ่อนไหวทางแม่เหล็กจะลดลงเมื่ออุณหภูมิเพิ่มขึ้น

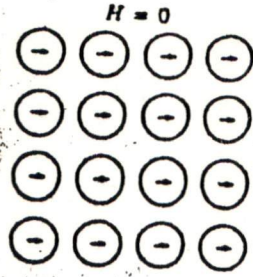


รูปที่ 2.1.3 แสดงไดโพลแม่เหล็กของสารแม่เหล็กพารา
 ก. เมื่อไม่มีสนามแม่เหล็กภายนอก ข. เมื่อมีสนามภายนอก

3. สารแม่เหล็กเฟอร์โร (Ferromagnetic materials)

เป็นสารแม่เหล็กที่มีโมเมนต์แม่เหล็กถาวร แม้จะไม่มีสนามทำแม่เหล็กภายนอก ค่าโมเมนต์แม่เหล็กมีค่ามาก สารพวกนี้มีความเป็นแม่เหล็กถาวร ได้แก่ โลหะทรานซิชัน เช่น โคบอล นิเกิล เป็นต้น ค่าสภาพอ่อนไหวทางแม่เหล็กมีค่าเป็นบวก เมื่อมีเส้นแรงแม่เหล็กตัดผ่านสารแม่เหล็กเฟอร์โร เส้นแรงแม่เหล็กสามารถจะผ่านเข้าไปในอะตอมได้มาก (ลู่เข้าอะตอม) ดังรูปที่ 2.1.1 ก ไดโพลแม่เหล็กที่เกิดขึ้นเองในสารแม่เหล็กเฟอร์โร มีลักษณะดังรูปที่ 2.1.4

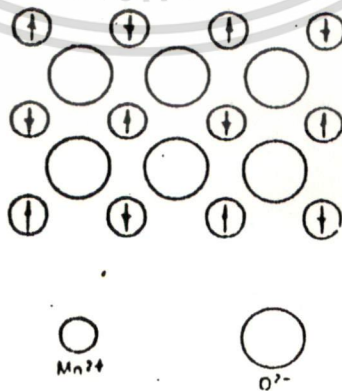
เอกสารนี้เป็นเอกสารที่สงวนไว้สำหรับการใช้งานเพื่อการศึกษาเท่านั้น ไม่อนุญาตให้นำไปใช้ประโยชน์ด้านการค้าไม่ว่ากรณีใดๆทั้งสิ้น อีกทั้งห้ามมิให้ดัดแปลงเนื้อหา และต้องอ้างอิงถึงเจ้าของเอกสารทุกครั้งที่มีการนำไปใช้



รูปที่ 2.1.4 แสดงโคโรลาแม่เหล็กของสารแม่เหล็กเฟอร์ไรต์

4. สารแม่เหล็กแอนติเฟอร์ไรต์ (Antiferromagnetic materials)

เป็นสารแม่เหล็กที่มีการเชื่อมต่อกันของโมเมนต์แม่เหล็ก ระหว่างอะตอมที่สามารถแสดงสภาพแม่เหล็กซึ่งมีลักษณะคล้ายๆ กับสารแม่เหล็กเฟอร์ไรต์ แต่การเชื่อมต่อกันของโมเมนต์แม่เหล็กในสารแอนติเฟอร์ไรต์ มีลักษณะหักล้างกันจนทำให้โมเมนต์แม่เหล็กรวมมีค่าต่ำมากๆ ยกตัวอย่าง สารที่เป็นสารแม่เหล็กแอนติเฟอร์ไรต์ เช่น MnO เมื่อดูตามรูปที่ 2.1.5 จะเห็นว่า สปินของโมเมนต์แม่เหล็กของ Mn^{2+} เรียงสลับไปมาหักล้างจนเป็นศูนย์ แต่อย่างไรก็ดี เมื่ออุณหภูมิสูงขึ้นถึงค่าๆ หนึ่งเรียกว่า จะทำให้สารแม่เหล็กแอนติเฟอร์ไรต์มีคุณสมบัติเปลี่ยนไปเป็นสารแม่เหล็กพารา



รูปที่ 2.1.5 แสดงสปีนแม่เหล็กของ Mn^{2+} ใน MnO

เอกสารนี้เป็นเอกสารที่สงวนไว้สำหรับการใช้งานเพื่อการศึกษาเท่านั้น ไม่อนุญาตให้นำไปใช้ประโยชน์ด้านการค้า ไม่ว่ากรณีใดๆทั้งสิ้น อีกทั้งห้ามมิให้ดัดแปลงเนื้อหา และต้องอ้างอิงถึงเจ้าของเอกสารทุกครั้งที่มีการนำไปใช้

5. สารแม่เหล็กเฟอร์รี (Ferrimagnetic material)

คุณสมบัติทางมหภาคของแม่เหล็กของสารแม่เหล็กเฟอร์รี และสารแม่เหล็กเฟอร์ไรต์มีลักษณะคล้ายๆกัน แต่แตกต่างกันตรงแหล่งกำเนิดที่ทำให้เกิดโมเมนต์แม่เหล็กซึ่งสารแม่เหล็กเฟอร์รีนั้น โมเมนต์แม่เหล็กเกิดจากคิวบิกเฟอร์ไรต์ ดังนั้นไดโพลแม่เหล็กของสารแม่เหล็กเฟอร์รี จะมีค่าแตกต่างจากสารแม่เหล็กเฟอร์ไรต์อยู่บ้าง ลักษณะการเรียงตัวของไดโพลแม่เหล็กของสารแม่เหล็กเฟอร์รี เมื่อเทียบกับสารแม่เหล็กเฟอร์ไรต์ และสารแม่เหล็กแอนติเฟอร์ไรต์ แสดงดังรูปที่ 2.1.6



รูปที่ 2.1.6 แสดงการเรียงตัวของไดโพลแม่เหล็กในสารแม่เหล็ก

สารแม่เหล็กเฟอร์รีจะมีส่วนประกอบของไอออนเหล็กอยู่ 2 ตัว คือ Fe^{2+} กับ Fe^{3+} ผลทางแม่เหล็กของสารแม่เหล็กชนิดนี้มีลักษณะอยู่กึ่งกลางๆ ระหว่างสารแม่เหล็กเฟอร์ไรต์กับสารแม่เหล็กแอนติเฟอร์ไรต์และคุณสมบัติทางแม่เหล็กจะหมดไป เมื่ออุณหภูมิสูงถึงค่าๆหนึ่ง (เช่นเดียวกับสารเฟอร์ไรต์) คุณสมบัติค่านี้จะเรียกว่า คุณสมบัติวิกฤต

สำหรับสารแม่เหล็กเฟอร์โรและสารแม่เหล็กเฟอร์ริ ซึ่งมีคุณสมบัติทางแม่เหล็กที่คล้ายๆ กันมีการนำไปใช้งานอย่างกว้างขวาง สามารถแบ่งได้เป็น 2 พวกใหญ่ๆ คือ

-สารแม่เหล็กชนิดอ่อน (Soft magnetic materials)

สารแม่เหล็กชนิดอ่อนนี้เป็นสารที่มีความเข้มของเส้นแรงแม่เหล็กค่อนข้างต่ำ แต่มีค่าสภาพซึมซาบทางแม่เหล็กสูง แสดงในตารางที่ 2.1.1 และมีค่าต่ำสามารถทำให้สนามแม่เหล็กเหนี่ยวนำที่เกิดขึ้นสลับไปมาได้ง่าย จากเหตุผลเหล่านี้ทำให้สารแม่เหล็กชนิดอ่อนมีประโยชน์อย่างมากในการนำไปใช้ในงานอุตสาหกรรมประเภทสวิตซ์ที่ถี่ และภาคขยายสัญญาณ และมีความเหมาะสมอย่างมาก ในการนำมาทำเป็นแกนทรานเฟอร์เมอร์ที่ใช้ในงานความถี่สูง

Material	Composition (wt%)	Initial Relative Permeability, μ_i	Saturation Flux Density, B _s [Tesla (gauss)]	Hysteresis Loss/Cycle [J/m ³ (erg/cm ³)]	Resistivity, ρ (ohm-m)
Commercial iron ingot	99.95 Fe	150	2.14 (21,400)	270 (2700)	1.0×10^{-7}
Silicon-iron (oriented)	97 Fe, 3 Si	1400	2.01 (20,100)	40 (400)	4.7×10^{-7}
45 Permalloy	55 Fe, 45 Ni	2300	1.80 (18,000)	120 (1200)	4.5×10^{-7}
Supermalloy	79 Ni, 15 Fe, 3 Mo, 0.3 Mn	73,000	0.80 (8,000)	—	6.0×10^{-7}
Ferroxcube A	48 MnFe ₂ O ₄ , 32 ZnFe ₂ O ₄	1400	0.33 (3,300)	~1 (1,000)	10 ⁷
Ferroxcube B	36 NiFe ₂ O ₄ , 64 ZnFe ₂ O ₄	650	0.36 (3,600)	~35 (~3,500)	10 ⁷

ตารางที่ 2.1.1 แสดงตัวอย่างคุณสมบัติทางแม่เหล็กของสารแม่เหล็กชนิดอ่อนบางชนิด

เอกสารนี้เป็นเอกสารที่สงวนไว้สำหรับการใช้งานเพื่อการศึกษาเท่านั้น ไม่อนุญาตให้นำไปใช้ประโยชน์ด้านการค้า ไม่ว่ากรณีใดๆทั้งสิ้น อีกทั้งห้ามมิให้ดัดแปลงเนื้อหา และต้องอ้างอิงถึงเจ้าของเอกสารทุกครั้งที่มีการนำไปใช้

-สารแม่เหล็กชนิดแข็ง (Hard magnetic materials)

สารแม่เหล็กชนิดแข็งเป็นสารแม่เหล็กที่มีความเข้มของเส้นแรงแม่เหล็กอิ่มตัวสูง มีค่าความซึมซาบทางแม่เหล็กต่ำ และมีการสูญเสียพลังงานสูง จากคุณสมบัติต่างๆ ที่กล่าวมานี้ จะเห็นว่าสามารถนำสารแม่เหล็กชนิดแข็งไปใช้งานอุตสาหกรรมต่างๆ ในลักษณะของแม่เหล็กถาวร เช่น ทำลำโพง ทำมอเตอร์ เป็นต้น

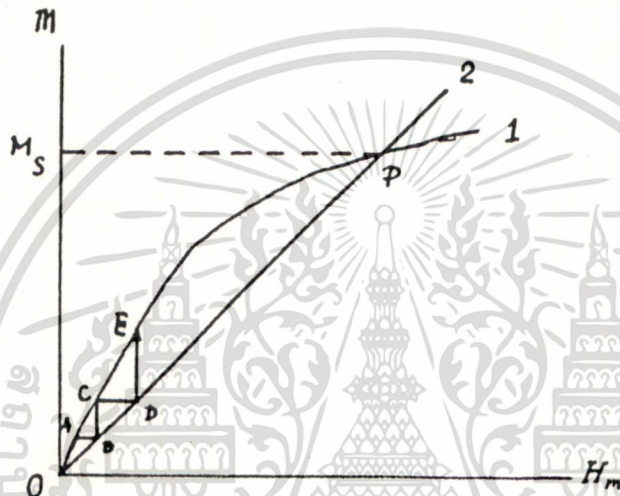
ตัวอย่างของสารแม่เหล็กชนิดแข็งแสดงในตารางที่ 2.1.2

Material	Composition (wt%)	Remanence, B_r [Tesla (gauss)]	Coercivity, H_c [amp-turn/m (oersted)]	$(BH)_{max}$ [J/m ³ (gauss-oersted)]	Curie Temperature, T_c [°C (°F)]
Martensitic carbon steel	98.1 Fe, 0.9 C, 1 Mn	0.95 (9500)	4000 (50)	1600 (0.20 × 10 ⁶)	—
Tungsten steel	92.8 Fe, 6 W, 0.5 Cr, 0.7 C	0.95 (9500)	5900 (74)	2600 (0.33 × 10 ⁶)	760 (1400)
Cunife	20 Fe, 20 Ni, 60 Cu	0.54 (5400)	44,000 (550)	12,000 (1.5 × 10 ⁶)	410 (770)
Cunico	29 Co, 21 Ni, 50 Cu	0.34 (3400)	54,000 (680)	6400 (0.8 × 10 ⁶)	860 (1580)
Sintered Alnico 8	34 Fe, 7 Al, 15 Ni, 35 Co, 4 Cu, 5 Ti	0.76 (7600)	123,000 (1550)	36,000 (4.5 × 10 ⁶)	860 (1580)
Ferroxdur (oriented)	BaO-6Fe ₂ O ₃	0.32 (3200)	240,000 (3000)	20,000 (2.5 × 10 ⁶)	450 (840)

ตารางที่ 2.1.2 แสดงตัวอย่างคุณสมบัติทางแม่เหล็กของสารแม่เหล็กชนิดแข็งบางชนิด

2.2 การหาอุณหภูมิวิกฤตของสารแม่เหล็ก

โดยเราจะศึกษาถึงพฤติกรรมของสารแม่เหล็กเฟอร์โรแมกเนติก ว่ามีการเปลี่ยนแปลงอย่างไร เมื่ออุณหภูมิเปลี่ยนไป ค่าแมกเนโตเซชันของสารแม่เหล็กประเภทเฟอร์โรแมกเนติก เมื่ออุณหภูมิต่ำใดถึงจะทำให้สารนี้กลายเป็นพาราแมกเนติก (paramagnetic)



รูปที่ 2.2.1 กราฟระหว่างแมกเนโตเซชัน กับ สนามโมเลกุล

จากรูปที่ 2.2.1 เราสมมติว่า แมกเนโตเซชันของสารนี้เพิ่มขึ้นกับอุณหภูมิที่อุณหภูมิต่ำที่ เน่าลงจาก curve 1 ของรูปที่ 2.2.1 เป็นของสารแม่เหล็กชนิดเฟอร์โร โดยสมมติให้สนามที่กระทำกับสารเป็นสนามโมเลกุล (Molecular field), H_m เพราะฉะนั้นเราก็ได้

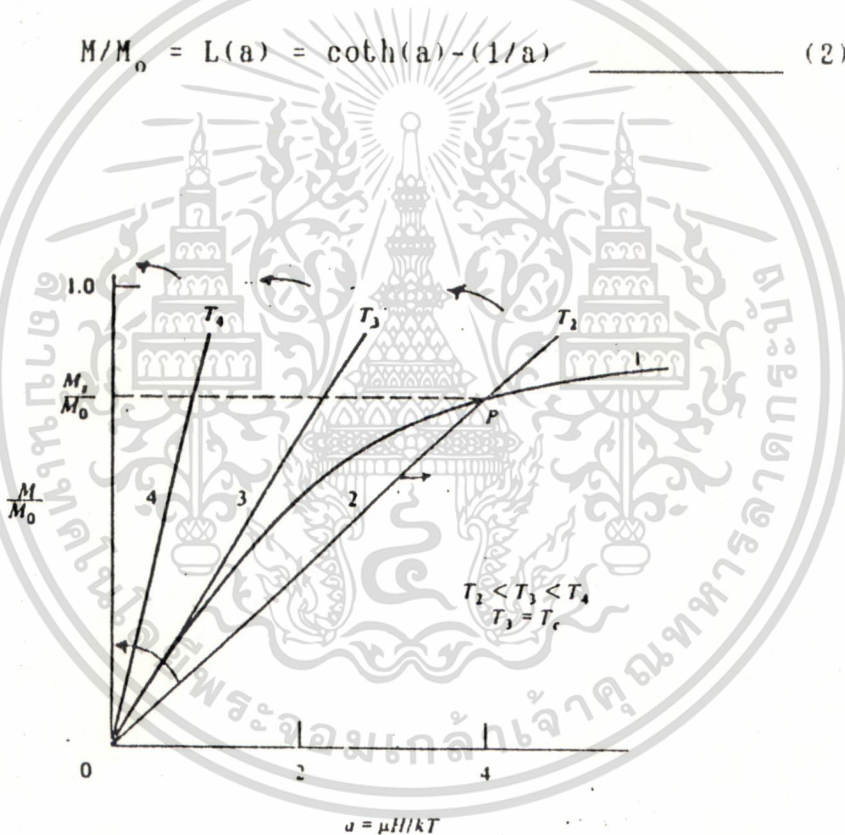
$$H_m = \chi M \quad (1)$$

จาก curve 2 ของรูป 2.2.1 เป็นของสมการที่ 1 และ slope คือ $1/\chi$ ค่าแมกเนโตเซชันที่เกิดขึ้น มีค่า 2 จุดแรกจุดที่ค่าเป็นลบจะไม่เสถียรภาพเพราะค่า $M = 0$ เอกสารนี้เป็นเอกสารที่สงวนไว้สำหรับการใช้งานเพื่อการศึกษาเท่านั้น ไม่อนุญาตให้นำไปใช้ประโยชน์ด้านการค้า ไม่ว่าจะกรณีใดๆทั้งสิ้น อีกทั้งห้ามมิให้ดัดแปลงเนื้อหา และต้องอ้างอิงถึงเจ้าของเอกสารทุกครั้งที่มีการนำไปใช้

สนามกระทำที่มองไม่เห็น (เช่น สนามจากโลก) จะกระทำต่อสารชนิดนี้ แต่ถ้าสารถูกแมกเนติกที่จุด A สนามกระทำที่จุด B นั้นเอง กระทำเช่นนี้ไปเรื่อยๆ จนถึงจุด P จุดนี้เองที่เสถียรภาพ (stability) เพราะว่า ค่าแมกเนติกเซชัน (M_u) จะเปลี่ยนแปลงกันที่จุด P ในขณะที่ไม่มี H_u กระทำ ซึ่งเราจะศึกษาว่า ช่วงอุณหภูมิค่าที่ M_u เปลี่ยนแปลงในนี้ มีผลทำให้สารเปลี่ยนแปลงไปอย่างไร

จากรูป 2.2.1 เราจะเขียนใหม่ได้ ดังรูป 2.2.2 และให้ $a = \mu H/kT$ คือตัวแปรที่จะปรากฏในทฤษฎีของสารพาราแมกเนติก จากสมมติของ Weiss เราจะสมมติว่าความสัมพันธ์ของ แมกเนติกเซชัน ซึ่งจะแสดงได้โดยฟังก์ชัน Langevin

$$M/M_0 = L(a) = \coth(a) - (1/a) \tag{2}$$



รูปที่ 2.2.2 แสดงผลของอุณหภูมิที่มีต่อแมกเนติกเซชัน

เอกสารนี้เป็นเอกสารที่สงวนไว้สำหรับการใช้งานเพื่อการศึกษาเท่านั้น ไม่อนุญาตให้นำไปใช้ประโยชน์ด้านการค้า ไม่ว่าจะกรณีใดๆทั้งสิ้น อีกทั้งห้ามมิให้ตัดแปลงเนื้อหา และต้องอ้างอิงถึงเจ้าของเอกสารทุกครั้งที่มีการนำไปใช้

(เมื่อแทนค่าต่างๆ เหล่านี้และให้ฟังก์ชัน Brillouin จากความสัมพันธ์ควอนตัม-แมกคาไนก)

$$\text{เมื่อป้อนสนาม } H, \text{ เราได้ว่า } a = \mu \text{ หรือ } MM_0/kTM_0 \text{ _____ (3)}$$

$$M/M_0 = (kT/\mu \text{ หรือ } M_0) a \text{ _____ (4)}$$

M/M_0 คือ ฟังก์ชันเชิงเส้นของ a กับค่าความชันที่เหมาะสมกับอุณหภูมิภายในวงเล็บ ในรูป 2.2.2 curve 1 คือ Langevin function และเส้นที่ 2 คือ กราฟของสมการที่ 4 สำหรับอุณหภูมิ T_c จากกราฟจะบอกได้ว่า ถ้าอุณหภูมิเพิ่มขึ้น T_c จะเปลี่ยนแปลงโดยหมุนทวนเข็มนาฬิกาเทียบกับจุดกำเนิด เมื่อค่าแมกเน็ตเซชันนี้ถึงจุด (Spontaneous magnetization) หมุนมาถึง T_c เราเรียกว่า "Curie Temperature" และที่อุณหภูมิสูงกว่า คือ T_c สารนั้นจะเรียกว่า paramagnetic เพราะว่า มันไม่มีค่า M_c กระทำอยู่แล้ว

ค่าอุณหภูมิคูรี สามารถคำนวณได้จากกราฟเส้นที่ 3 ซึ่งเหมือนกับค่าความชันของ Langevin (curve 1) ซึ่งก็คือ 1/3 , แทนค่า T ด้วย T_c เราจะได้ว่า

$$kT_c / (\mu \text{ หรือ } M_0) = 1/3$$
$$T_c = \mu \text{ หรือ } M_0 / 3k \text{ _____ (5)}$$

- เมื่อ μ = ค่าสภาพซึมซาบทางแม่เหล็กของตัวกลางที่สนามทวนแม่เหล็กตัดผ่าน
- หรือ = Molecular field coefficient
- M_0 = แมกเน็ตเซชันที่ $H_m = 0$
- k = ค่าคงที่โบล์ซมันส์

และในทางกลับกัน เราก็สามารถหาค่า M_0 ได้ ถ้าเรารู้ค่า T_c , μ โดยค่า T_c และ μ นี้จากการทดลองได้

2.3 หลักการหาค่าสภาพซึมซาบทางแม่เหล็ก

วิธีนี้ใช้วัดค่า impedance permeability (μ_z) ของสื่อนำแม่เหล็กเฟอร์โร ซึ่งรูปแบบของสารเป็นแบบวงแหวนบางๆ หรือวงแหวนที่มีความหนา โดยเราจะใช้กระแสสลับ i_p เข้าชดเชยทางด้านปริมณูมิ ดังนั้นจะเกิดการเหนี่ยวนำให้เกิด E_b ปรากฏที่ทางด้านชดเชยคฤติชภูมิ

ดังนั้น

$$E_b = N_z d\phi/dt \tag{1}$$

เมื่อ N_z = จำนวนรอบของขดลวดที่พันทางด้านคฤติชภูมิ

หลักในการคำนวณ

1. หาความยาวเฉลี่ยของสารก่อน

ถ้าเป็นแกนทอรอยด์ จะได้ว่า $l = (D + d/2)\pi$

เมื่อ l = ความยาวเฉลี่ยของสาร, cm

D = เส้นผ่าศูนย์กลางภายนอก, cm

d = เส้นผ่าศูนย์กลางภายใน, cm

2. หลังจากนี้พิจารณาพื้นที่ตัดขวางของสาร

สำหรับแกนทอรอยด์ จะได้ว่า

$$\text{ปริมาตรของสาร } (V_m) = A(D + d)/2 = m_1/p$$

ดังนั้น

$$A = 0.637 m_1 / (D + d)p$$

เมื่อ A = พื้นที่ตัดขวางของสาร, cm^2

m_1 = มวลของสาร, g

p = ความหนาแน่น, g/cm^3

ความสัมพันธ์ระหว่าง E_H กับ H_z แสดงดังนี้

$$E_H = H_z R l / 0.4\pi N_1 \sqrt{2} = 0.5627 H_z R l / N_1$$

หรือ

$$H_z = 0.4\pi N_1 E_H \sqrt{2} / l R = 1.777 N_1 E_H / l R$$

เมื่อ E_H = โวลเตจที่ปรากฏทางด้านขดลวดปฐมภูมิ, v

R = ความต้านทานที่อนุกรมกับขดลวดทางด้านปฐมภูมิ, โอห์ม

H_z = peak apparent magnetizing force, oersteds

l = ความยาวเฉลี่ยของสาร, cm

N_1 = จำนวนรอบของขดลวดทางด้านปฐมภูมิ

การเหนี่ยวนำให้เกิด B_m สัมพันธ์กับ E_B ดังนี้

$$B_m = E_B \times 10^8 / 4.44 f N_2 A$$

หรือ

$$E_B = 4.44 f N_2 A B_m \times 10^{-8}$$

เมื่อ

E_B = ค่าโวลเตจ rms ที่วัดทางด้านขดลวดทุติยภูมิ, v

B_m = peak flux density (gauss)

f = ความถี่ที่ทดสอบ, Hz

N_2 = จำนวนรอบของขดลวดทางด้านทุติยภูมิ

A = พื้นที่ตัดขวางของสาร, cm^2

ดังนั้นจะได้ค่า μ_z ดังนี้

$$\mu_z = B_m / H_z = 1.267 l R \times 10^7 / f N_1 N_2 A (E_B / E_H)$$

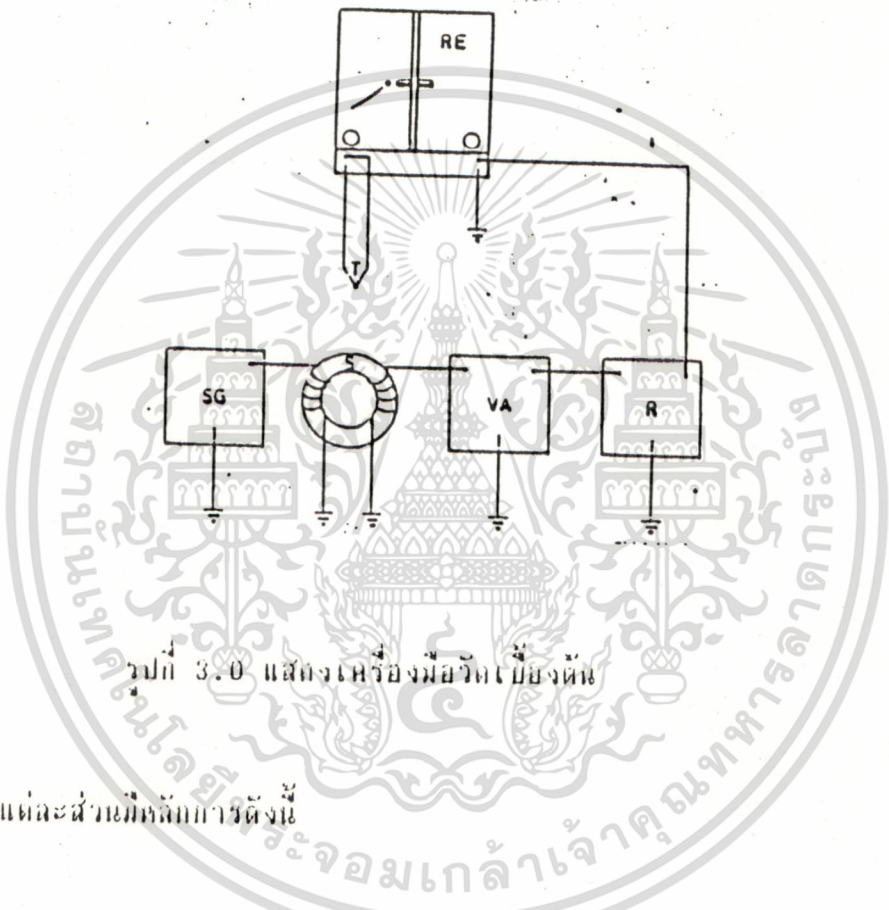
เอกสารนี้เป็นเอกสารที่สงวนไว้สำหรับการใช้งานเพื่อการศึกษาเท่านั้น ไม่อนุญาตให้นำไปใช้ประโยชน์ด้านการค้า
ไม่ว่ากรณีใดๆทั้งสิ้น อีกทั้งห้ามมิให้ดัดแปลงเนื้อหา และต้องอ้างอิงถึงเจ้าของเอกสารทุกครั้งที่มีการนำไปใช้

สำนักหอสมุดกลาง พระจอมเกล้าลาดกระบัง

บทที่ 3

ขั้นตอนในการออกแบบและสร้างเครื่องมือ

ส่วนประกอบที่สำคัญของเครื่องมือ ได้แสดงดังรูปที่ 3.0



รูปที่ 3.0 แสดงเครื่องมือวัดเบื้องต้น

หมายเหตุแต่ละส่วนมีหลักการดังนี้

1. SG (signal generator) ทำหน้าที่ผลิตสัญญาณคลื่นไซน์
2. S (sample) เป็นสารตัวอย่างที่จะนำมาทดสอบ
3. VA (voltage amplifier) ทำหน้าที่ขยายสัญญาณ
4. R (rectifier) ทำหน้าที่เปลี่ยนสัญญาณ AC เป็น DC
5. RE (recorder) ทำหน้าที่แสดงผลการเปลี่ยนแปลงของสัญญาณ
6. T (Thermocouple) ทำหน้าที่วัดอุณหภูมิ

เอกสารนี้เป็นเอกสารที่สงวนไว้สำหรับการใช้งานเพื่อการศึกษาเท่านั้น ไม่อนุญาตให้นำไปใช้ประโยชน์ด้านการค้า
ไม่ว่ากรรมใดๆทั้งสิ้น อีกทั้งห้ามมิให้ตัดแปลง 117417 ต้องอ้างอิงถึงเจ้าของเอกสารทุกครั้งที่มีการนำไปใช้

3.1 พิสูจน์ให้ได้ตามทฤษฎี เพื่อสำรวจแนวทางการและความเห็นเป็นไปได้อย่างจริงจัง
ซึ่งมีรายละเอียดต่าง ๆ ดังนี้

- พิสูจน์ทฤษฎี
- เมื่อหลักการทางานแล้ว ก็หาความน่าเชื่อถือของกราฟที่ได้ว่ามีความถูกต้องแค่ไหน

3.2 การออกแบบและสร้างเครื่องวัดอุณหภูมิวิกฤตของสารแม่เหล็ก จะประกอบไปด้วย

Signal Generator

Voltage Amplifier

Precision full-wave Rectifier

Thermometer 3 1/2 digit

Programmable Current Source

Proportional Controller

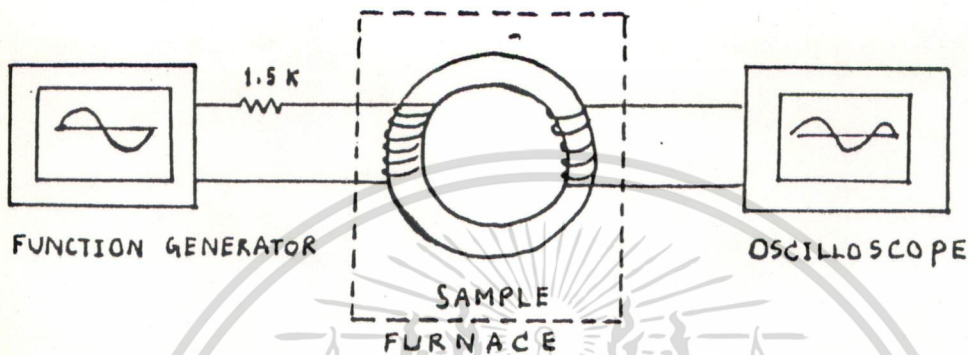
Current to Voltage converter (4-20 mA to 0-5 V)

Furnace

ต่อไปก็จะเป็นรายละเอียดต่าง ๆ ของแต่ละขั้นตอนที่ให้เขียนไว้แล้ว

3.1. การทดลองเบื้องต้น เพื่อเป็นแนวทางในการวัดอุณหภูมิวิกฤต

เริ่มแรกได้ใช้วงแหวนเหล็กอ่อนมาเสกด้วยแม่เหล็กเพื่อให้มีความเป็นแม่เหล็กบ้างเล็กน้อย จากนั้นเอาวัตถุทองแดงมาพันด้าน primary และ secondary ด้านละ 10 รอบ เชื่อมต่อกับ function generator และ scope ดังรูปที่ 3.1.1



รูปที่ 3.1.1 การทดลองเบื้องต้น

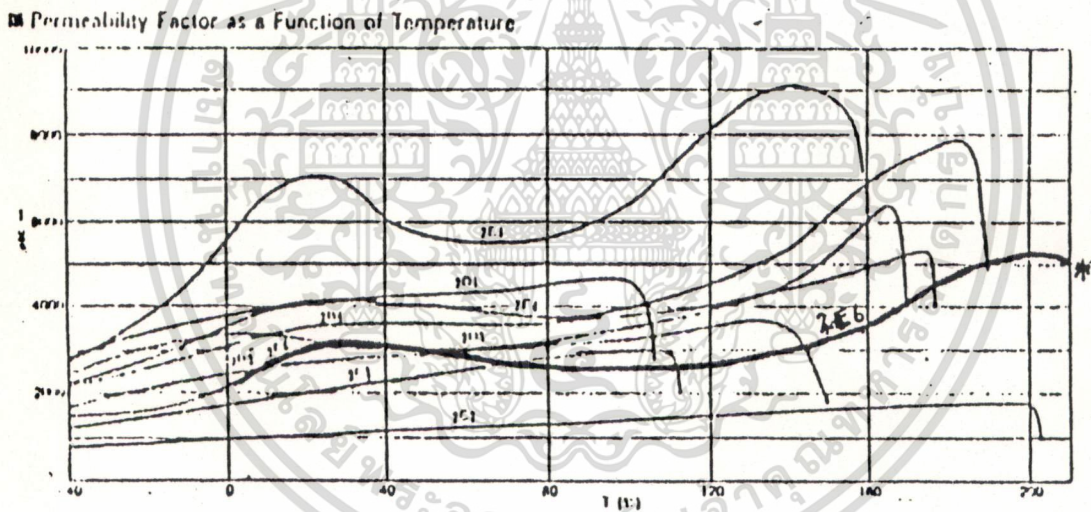
เหตุผลที่เราเอา $R = 1.5 \text{ k}$ มาต่ออนุกรมกับ function generator ซึ่งมีค่าความต้านทานทางด้าน output อยู่ประมาณ 500 โอห์ม ก็เพื่อให้ได้ความต้านทาน 2 กิโลโอห์ม ก็เพราะว่า จะต้องใช้สัญญาณ sine wave $\pm 10 \text{ V}$ peak to peak ภาได้มีกระแสไหล $\pm 5 \text{ mA}$ เพื่อไม่ให้เกิดการ Saturate (อิ่มตัว)

เอกสารนี้เป็นเอกสารที่สงวนไว้สำหรับการใช้งานเพื่อการศึกษาเท่านั้น ไม่อนุญาตให้นำไปใช้ประโยชน์ด้านการค้า ไม่ว่าจะกรณีใดๆทั้งสิ้น อีกทั้งห้ามมิให้ดัดแปลงเนื้อหา และต้องอ้างอิงถึงเจ้าของเอกสารทุกครั้งที่มีการนำไปใช้

จากนั้นเราก็ทำ Scope มาดูรูปคลื่นที่บอกเห็นว่ามันทางด้าน secondary แล้วก็เฝ้าวงแหวน ด้วยเตาสักครู่ ก็จะทำให้เห็นว่ามันคลื่น sine wave มีค่า voltage peak to peak เปลี่ยนแปลงไป จนกระทั่งความร้อนถึงจุดวิกฤต จะไม่มีการเห็นเขี้ยวว่าให้เกิดโวลเตจขึ้นมา

3.1.2 ทดลองหาความสัมพันธ์ระหว่าง μ กับ T เพื่อสนับสนุนหลักการ

ก่อนที่เราจะทดลองได้ เราจะต้องไปหาแกนทอรอยด์ (Toroid) พร้อมกับคุณสมบัติของแกนที่ซื้อมาจากผู้ผลิต ซึ่งเป็นสิ่งที่สำคัญมาก โดยหาซื้อได้จากร้านสากลชั้นปลาย ซึ่งได้ material 2E6 มา โดยมีคุณสมบัติดังรูป

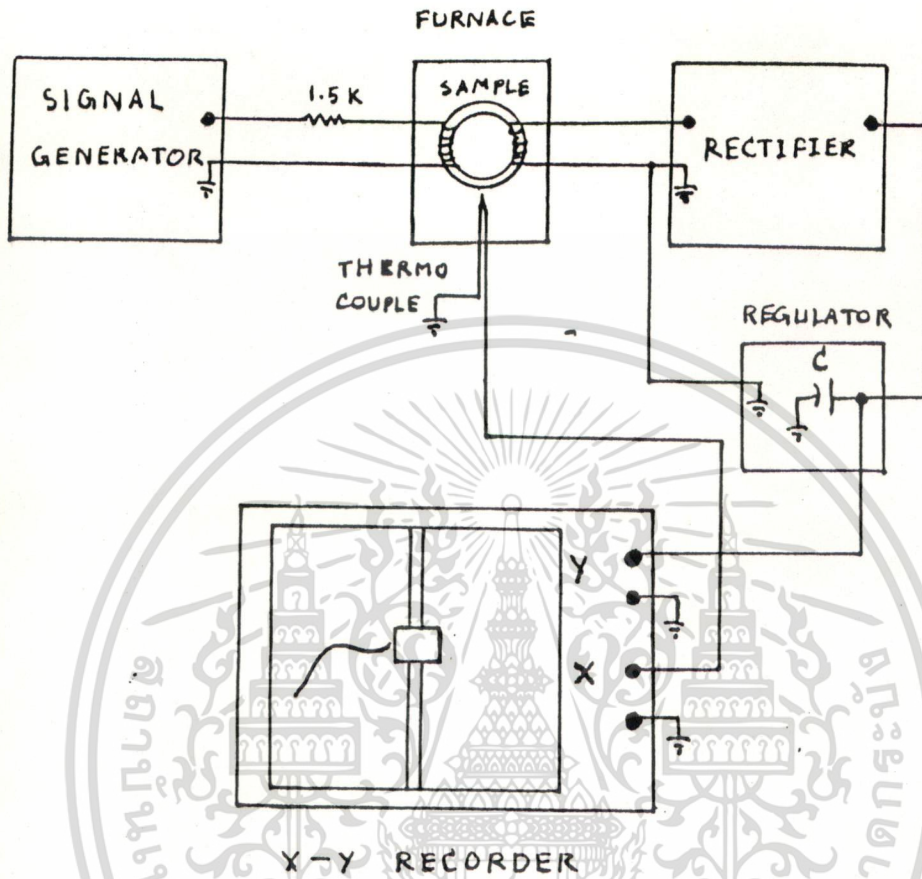


รูปที่ 3.1.2 แสดงคุณสมบัติของแกนทอรอยด์

สิ่งที่เราเพิ่มเติมเข้ามาในการทดลองก็คือ Thermocouple Type K ซึ่งใช้วัดอุณหภูมิ, Recorder ไร่บีแทกซ์ยี่ห้อ x-y, เตาส่ง DC Supply เพื่อให้ความร้อนแก่ Sample

เอกสารนี้เป็นเอกสารที่สงวนไว้สำหรับการใช้งานเพื่อการศึกษาเท่านั้น ไม่อนุญาตให้นำไปใช้ประโยชน์ด้านการค้า ไม่ว่าจะกรณีใดๆทั้งสิ้น อีกทั้งห้ามมิให้ดัดแปลงเนื้อหา และต้องอ้างอิงถึงเจ้าของเอกสารทุกครั้งที่มีการนำไปใช้

รูปการทดลอง



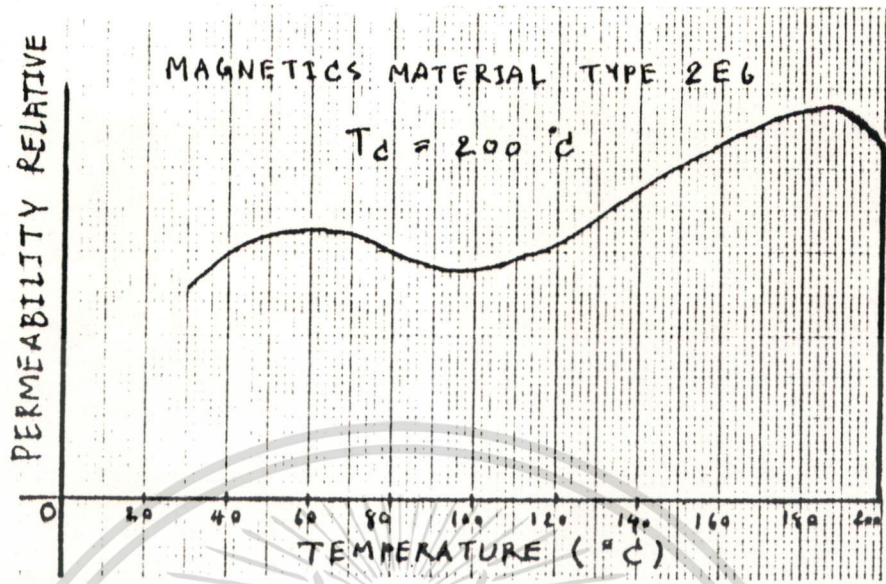
รูปที่ 3.1.3 รูปการทดลอง

วิธีการทดลอง

ป้อนสัญญาณขนาด 330 mV_{rms} ที่ขดลวดปฐมภูมิและนำสัญญาณจากทุติยภูมิขนาด 20 mV_{rms} และเมื่อผ่าน Rectifier ได้ peak voltage = 10 V_p และผ่านการ Regulated แล้วจะได้ V_{DC} = 7 V นำไปเข้า Recorder แกน y และนำสัญญาณจาก Thermocouple ไปเข้าแกน x จากนั้นก็ป้อนพลังงานให้แก่เตาไฟฟ้าแล้วบันทึกผลที่ x-y Recorder

เอกสารนี้เป็นเอกสารที่สงวนไว้สำหรับการใช้งานเพื่อการศึกษาเท่านั้น ไม่อนุญาตให้นำไปใช้ประโยชน์ด้านการค้าไม่ว่ากรณีใดๆทั้งสิ้น อีกทั้งห้ามมิให้ตัดแปลงเนื้อหา และต้องอ้างอิงถึงเจ้าของเอกสารทุกครั้งที่มีการนำไปใช้

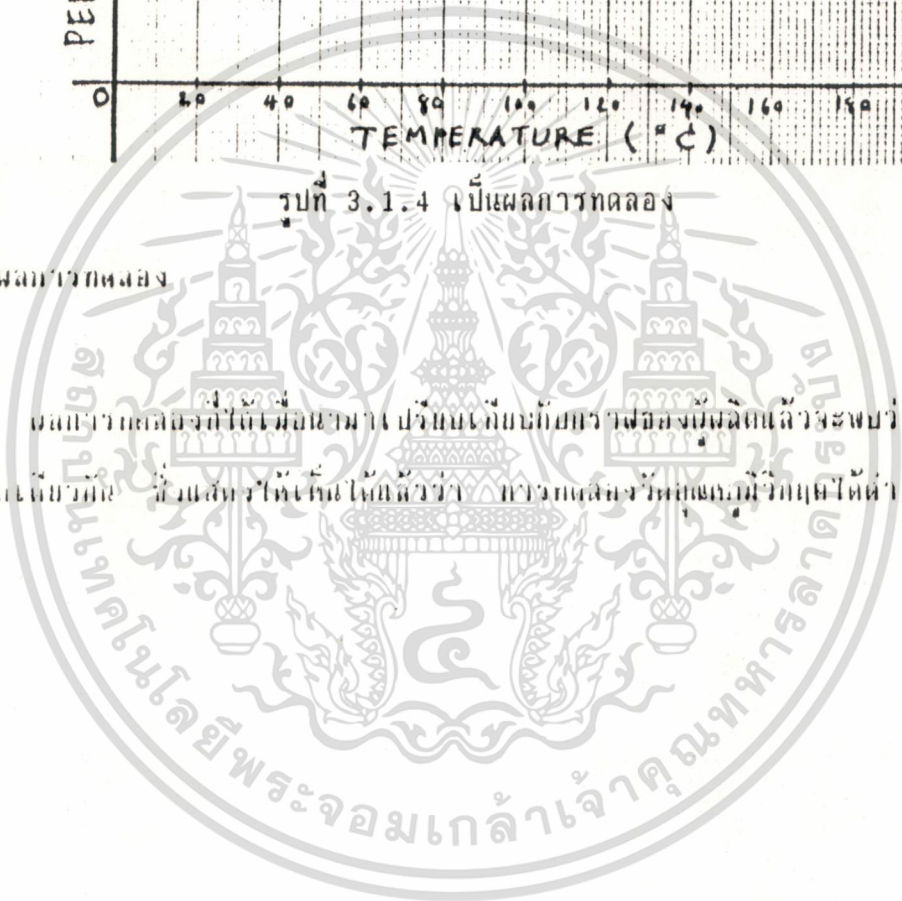
ผลทางตรง



รูปที่ 3.1.4 เป็นผลทางตรง

ส่วนผลทางตรง

ผลทางตรงที่ได้เพื่อนำมาเปรียบเทียบกับกราฟผลตรงที่ผลิตแล้วจะพบว่า ได้
 รูปกราฟที่เหมือนกัน ส่วนตรงที่เห็นได้คือว่า กราฟผลตรงที่ได้เพื่อนำมา
 ถูกต้องแล้ว



เอกสารนี้เป็นเอกสารที่สงวนไว้สำหรับการใช้งานเพื่อการศึกษาเท่านั้น ไม่อนุญาตให้นำไปใช้ประโยชน์ด้านการค้า
 ไม่ว่ากรณีใดๆทั้งสิ้น อีกทั้งห้ามมิให้ดัดแปลงเนื้อหา และต้องอ้างอิงถึงเจ้าของเอกสารทุกครั้งที่มีการนำไปใช้

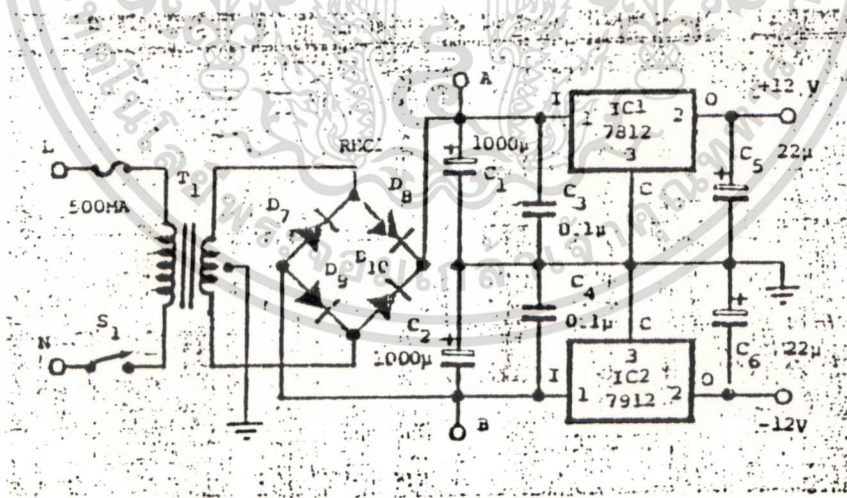
3.2 ขั้นตอนในการสร้างเครื่องวัด Tc

เมื่อหลักการทำงาน ๆ เป็นที่ถูกต้องแล้ว ก็จะได้เริ่มสร้างเครื่องมือต่าง ๆ ตามรายละเอียดต่าง ๆ ดังนี้

3.2.1 เครื่องกำเนิดสัญญาณ

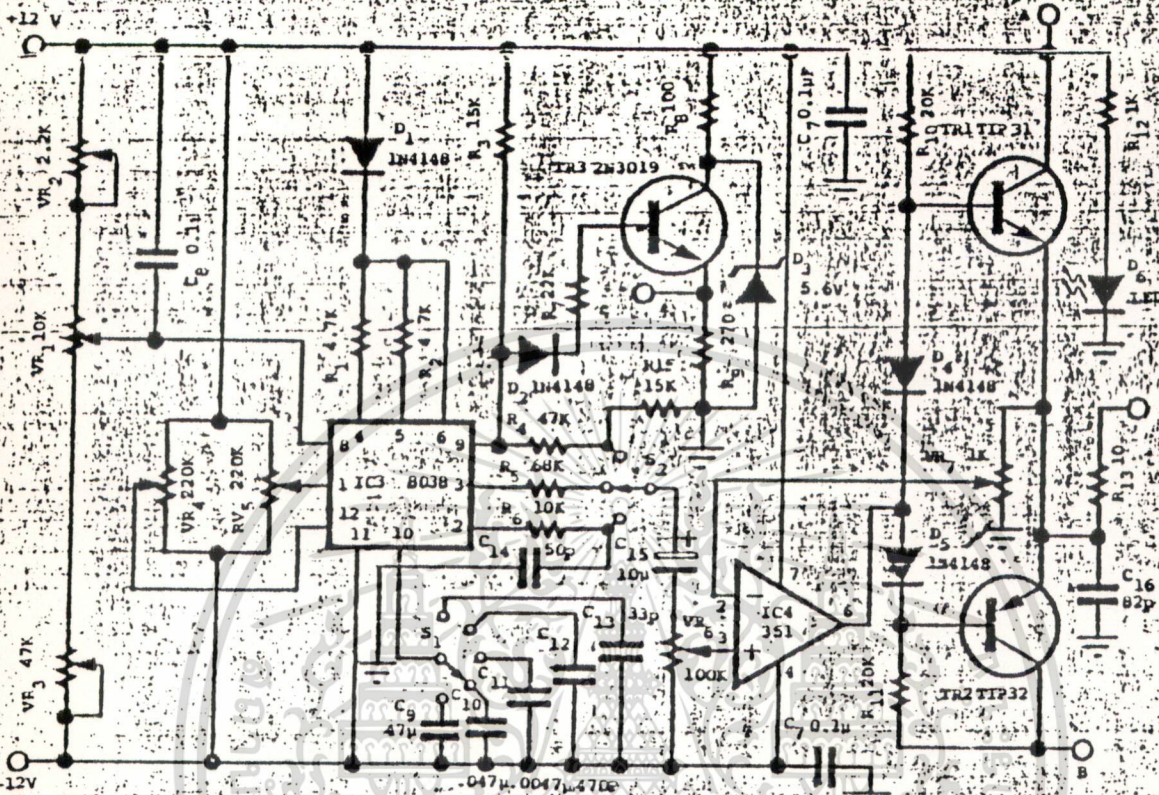
ใช้ไอซีเบอร์ 8038 ของบริษัทอินเทลล์เพียงตัวเดียวประกอบด้วยภาค
ภาคออกเล็กเล็กน้อยก็สามารถนำมาใช้งานได้ ข้อดีของการใช้ไอซีเบอร์นี้ก็คือ สามารถปรับ
เลือกความถี่ได้ง่าย เลือกสัญญาณได้สะดวก และปรับหาความบริสุทธิ์ของสัญญาณคลื่นขยาย
ได้

ภาพการวางผังวงจร



รูปที่ 3.2.1 เป็นภาพแสดงวงจรจ่ายแรงดันคงที่

เอกสารนี้เป็นเอกสารที่สงวนไว้สำหรับการใช้งานเพื่อการศึกษาเท่านั้น ไม่อนุญาตให้นำไปใช้ประโยชน์ด้านการค้า
ไม่ว่ากรณีใดๆทั้งสิ้น อีกทั้งห้ามมิให้ตัดแปลงเนื้อหา และต้องอ้างอิงถึงเจ้าของเอกสารทุกครั้งที่มีการนำไปใช้



รูปที่ 3.2.2 แสดงวงจร signal generator

วงจรที่ประกอบด้วยวงจรวอร์มที่ 3.2.1 และ 3.2.2 วงจรวอร์มที่ 3.2.1 เป็นวงจรรางแรงดัน 12 โวลต์ให้กับวงจรวอร์มที่ 2 ซึ่งเป็นวงจรรีเลย์ไอซีเบอร์ 8038 เพื่อตัวสร้างสัญญาณ โดยใช้หลักการของแรงดันไปควบคุมการออสซิลเลท ภายในตัวไอซี ส่วนความถี่ที่เลือกได้โดยการเปลี่ยนตัวเก็บประจุ C_1 ถึง C_5 ที่สวิตช์ S1 ค่าตัวไซเคิล (Duty cycle) ของสัญญาณถูกปรับไว้ที่ 50% โดย R_1 และ R_2 การปรับให้ได้ค่าละเอียดแต่ละขั้นจึงใช้การปรับค่าแรงดันที่ขา 8 ของไอซี 8038 ด้วย VR_1 ส่วน VR_2 ใช้เป็นตัวตั้งความถี่สูงสุด และค่าสุดของ VR_1 ความถี่สูงสุดของคลื่นความถี่ปรับได้ที่ VR_4

เอกสารนี้เป็นเอกสารที่สงวนไว้สำหรับการใช้งานเพื่อการศึกษาเท่านั้น ไม่อนุญาตให้นำไปใช้ประโยชน์ด้านการค้า ไม่ว่าจะกรณีใดๆทั้งสิ้น อีกทั้งห้ามมิให้ตัดแปลงเนื้อหา และต้องอ้างอิงถึงเจ้าของเอกสารทุกครั้งที่มีการนำไปใช้

และ VR_u โดยมีตัวต้านทาน R_4 , R_5 และ R_6 เป็นตัวกำหนดขนาดสัญญาณ VR_u เป็นตัวควบคุมขนาดของสัญญาณผ่านไอซีออปแอมป์ที่ต่อเป็นวงจร non-inverting amplifier โดยมี VR_1 เป็นตัวรับอิทธิพลของวงจรที่สำคัญคือ ไอซีออปแอมป์ที่มีค่าสlew rate อย่างเช่น 741 (มี slew rate $0.5 \text{ V}/\mu\text{sec}$) จะทำให้สัญญาณที่ได้ผิดเพี้ยนได้ง่ายจึงตกลงใช้ไอซีออปแอมป์ LF 351 ซึ่งเป็นไบเฟตออปแอมป์ (ที่มี slew rate $13 \text{ V}/\mu\text{sec}$) ซึ่งที่ส่งผลสำหรับการใช้งานย่านความถี่สูง

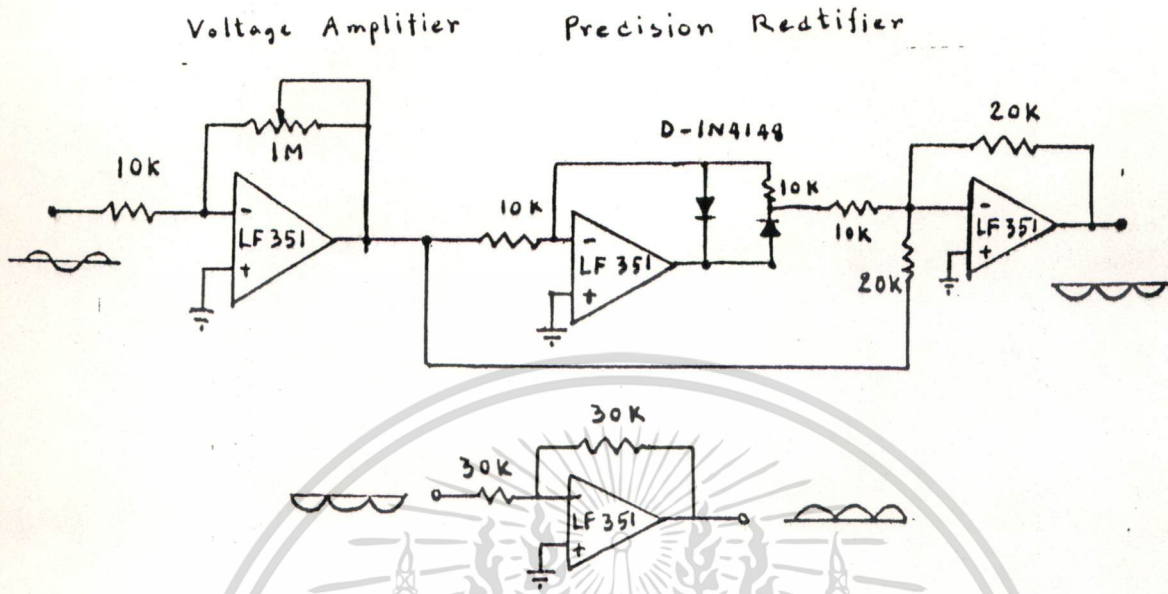
วงจรมีทั้งได้เพิ่มทราเวลไทม์ TR_1 และ TR_2 ที่ต่อเป็นวงจรคอมพลีเมนทารีในแบบอีมิตเตอร์ฟอลโลเวอร์ (emitter follower) ทางด้านเอาต์พุตของ IC_4 ทำให้ผลของ loading effect ก็จะเกิดที่ IC_4 นี้ก็คือ วงจรนี้สามารถใช้งานได้กับโหลดต่ำ ๆ และเมื่อเพิ่ม $R_{1,2}$ ที่มีค่า 10 โอมห์ เข้าที่เอาต์พุตของวงจรคอมพลีเมนทารี ทำให้เอาต์พุตของวงจรสามารถชดเชยการบิดได้ โดยวงจรไม่เสียหาย

คุณสมบัติของวงจรถัดจากภาคทดสอบเครื่อง

ค่าปารามิเตอร์	ความถี่ต่ำสุด (Hz)	ความถี่สูงสุด (Hz)
0.4700 μF	2	156
0.0470 μF	37	1.5 k
0.0047 μF	370	15.4 k
470 pF	3.3 k	136.0 k
33 pF	25.0 k	765.0 k

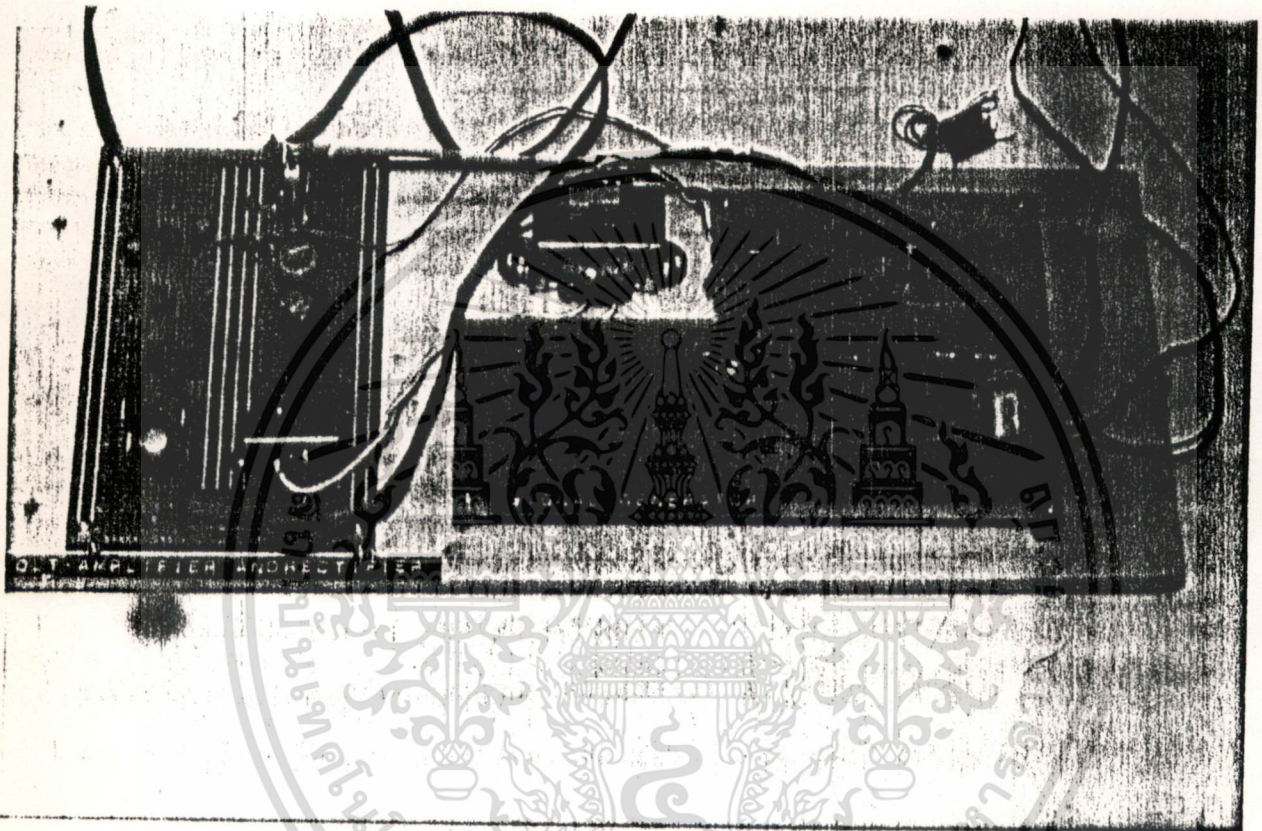
เอกสารนี้เป็นเอกสารที่สงวนไว้สำหรับการใช้งานเพื่อการศึกษาเท่านั้น ไม่อนุญาตให้นำไปใช้ประโยชน์ด้านการค้าไม่ว่ากรณีใดๆทั้งสิ้น อีกทั้งห้ามมิให้ดัดแปลงเนื้อหา และต้องอ้างอิงถึงเจ้าของเอกสารทุกครั้งที่มีการนำไปใช้

3.2.2 เครื่องขยายแรงดันและแปลงสัญญาณไฟฟ้าสลับเป็นไฟตรง



รูปที่ 3.2.3 เป็นวงจร Voltage Amplifier and Precision Rectifier

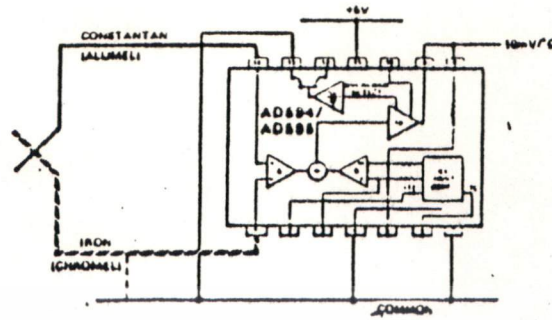
Voltage Amplifier มีหน้าที่ขยายสัญญาณที่ได้จากแหล่งกำเนิดสัญญาณ เพื่อเข้าไปเข้า
 ส่วน Precision Rectifier โดยมีวงจรที่รูป
 Precision full wave Rectifier มีหน้าที่เปลี่ยนสัญญาณไฟฟ้า AC ให้เป็น DC
 Inverting Amplifier หน้าที่กลับสัญญาณไฟฟ้าที่ได้จาก Rectifier จาก
 ไฟสลับให้เป็นไฟตรง



3.2.4 ภาพด้านหน้าของ Voltage Amplifier และ Rectifier
และ Signal Generator

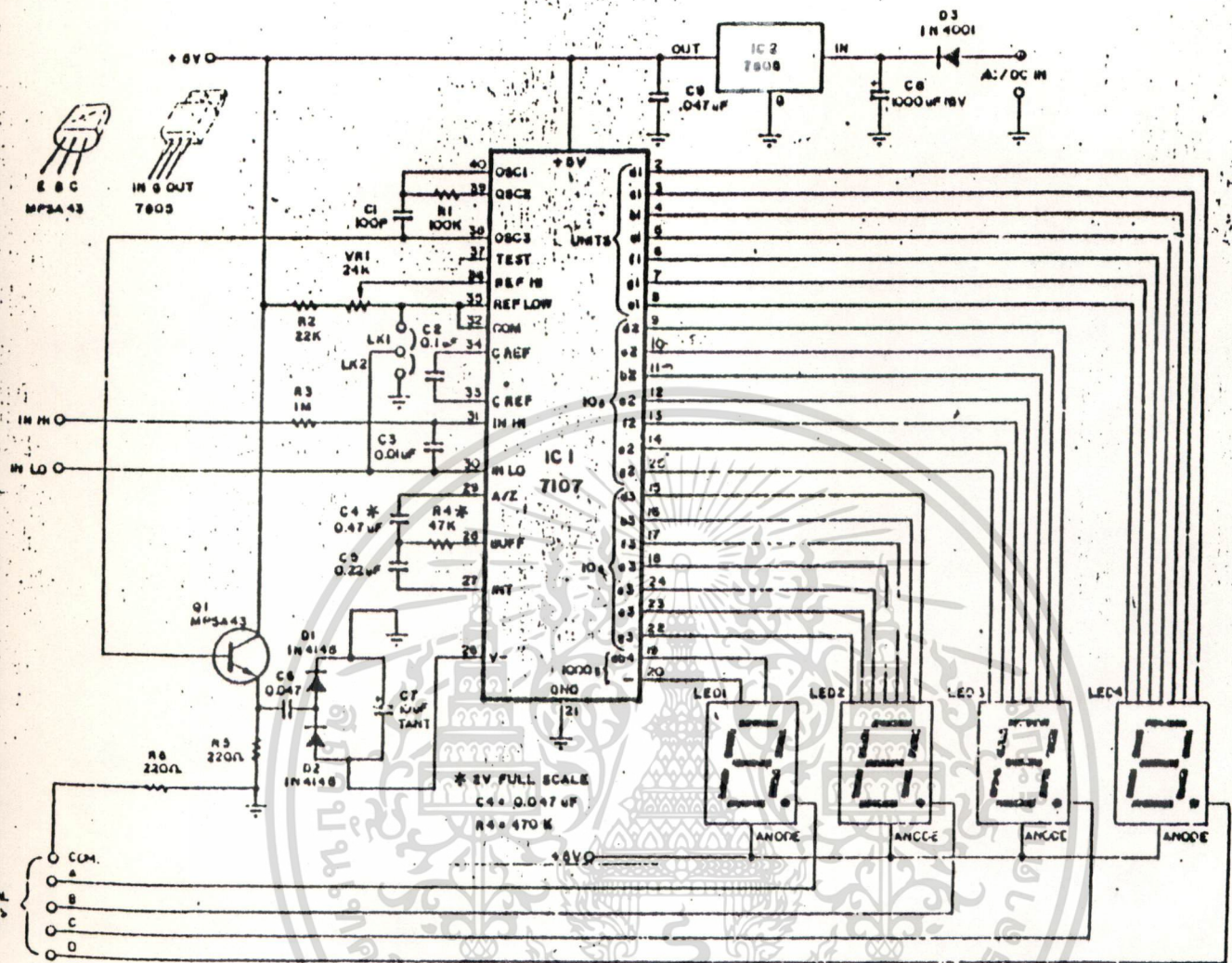
เอกสารนี้เป็นเอกสารที่สงวนไว้สำหรับการใช้งานเพื่อการศึกษาเท่านั้น ไม่อนุญาตให้นำไปใช้ประโยชน์ด้านการค้า
ไม่ว่ากรณีใดๆทั้งสิ้น อีกทั้งห้ามมิให้ดัดแปลงเนื้อหา และต้องอ้างอิงถึงเจ้าของเอกสารทุกครั้งที่มีการนำไปใช้

3.2.3 เครื่องวัดอุณหภูมิ 3 1/2 digit ประกอบด้วยวงจร 2 ส่วน ดังรูปต่อไปนี้



รูปที่ 3.2.5 เป็นวงจรวัดอุณหภูมิโดยใช้ IC AD 595

วงจรแปลงสัญญาณจาก Thermocouple ให้เป็นสัญญาณไฟฟ้า ซึ่งเป็น linear $10 \text{ mV}/^{\circ}\text{C}$ โดยใช้ไอซี Analog Devices AD595 ซึ่งใช้กับ Thermocouple Type K เมื่อเราให้สัญญาณ $10 \text{ mV}/^{\circ}\text{C}$ แล้วนำค่าไปผ่านตัวต้านทาน (R) แบ่งแรงดัน เข็มก่อนก็จะไปเข้าตัว Digital Voltmeter 3 1/2 digit ซึ่งในวงจรภายในตัว IC เหนือคือว่าต้องมี ความต้านทานทางเข้า input ทั้งสองข้าง และเป็นแบบ Differential ด้วย จึงลดสัญญาณรบกวนออกไปได้นั้น ส่วนตัว Digital Voltmeter 3 1/2 digits ซึ่งเราจะใช้ไอซีของอินเทลชิปเบอร์ 7107 ซึ่งสามารถจะใช้กับ LED แบบ 7 segment ได้โดยตรงจึงนับว่าสะดวกมาก และมีภาวทศอุปราคาณภายนอก เพิ่มเติมอีกเห็น้อยดังรูป 3.2.6



ภาพ 3.2.6 ภาพต่อวงจรของ IC 7107

ภาพ IC เบอร์ 7107 เป็นไอซีที่มีหน้าที่เปลี่ยนสัญญาณขนาดอนเป็นดิจิทัล
 เปลี่ยนขนาดแรงดันไฟฟ้าเป็นตัวเลขแสดงผล โดยมี R, C, ภาพหน้าที่รักษาเสถียร
 ภาพการทางของ IC, R, C ถูกทำเป็นวงจรตัวนำสายฟิลเตอร์ (Lowpass
 Filter) เพื่อตรวจสอบค่าสัญญาณรวมความถี่ ๆ ที่ถี่เท่ากับสัญญาณอินพุตที่ส่งผ่านไป IC,
 เป็นไอซีที่แปลงการตรงต่อไฟฟ้าทั้งหมดและลบ แต่ในกรณีนี้หลังจากจ่ายไฟมีแต่ไฟบวกเท่านั้น
 ที่วัดเพราะจะกล่าวสร้างไฟลบเทียบขึ้นมา ดังในรูป อุปกรณ์ที่ใช้ในการค่าไฟลบเทียบ
 ที่มี D, D, C, C, โดยมี Q, เป็นตัวขยายสัญญาณที่ได้จากขา
 เอกสารนี้เป็นเอกสารที่สงวนไว้สำหรับการใช้งานเพื่อการศึกษาเท่านั้น ไม่อนุญาตให้นำไปใช้ประโยชน์ด้านการค้า
 ไม่ว่ากรณีใดๆทั้งสิ้น อีกทั้งห้ามมิให้ดัดแปลงเนื้อหา และต้องอ้างอิงถึงเจ้าของเอกสารทุกครั้งที่มีการนำไปใช้

3, 8 ของ IC₁ ได้มีระดับสูงมากขึ้น หลังจากนั้นก็เอาไปเข้าส่วนของวงจรวันรุ่งคืน D₁, D₂, C₀, C₁ ซึ่งจะได้นางดับประมาณ -2.3 โวลต์ เอาไปเข้าขา 2,6 แล้วก็เอาไปใช้งานได้

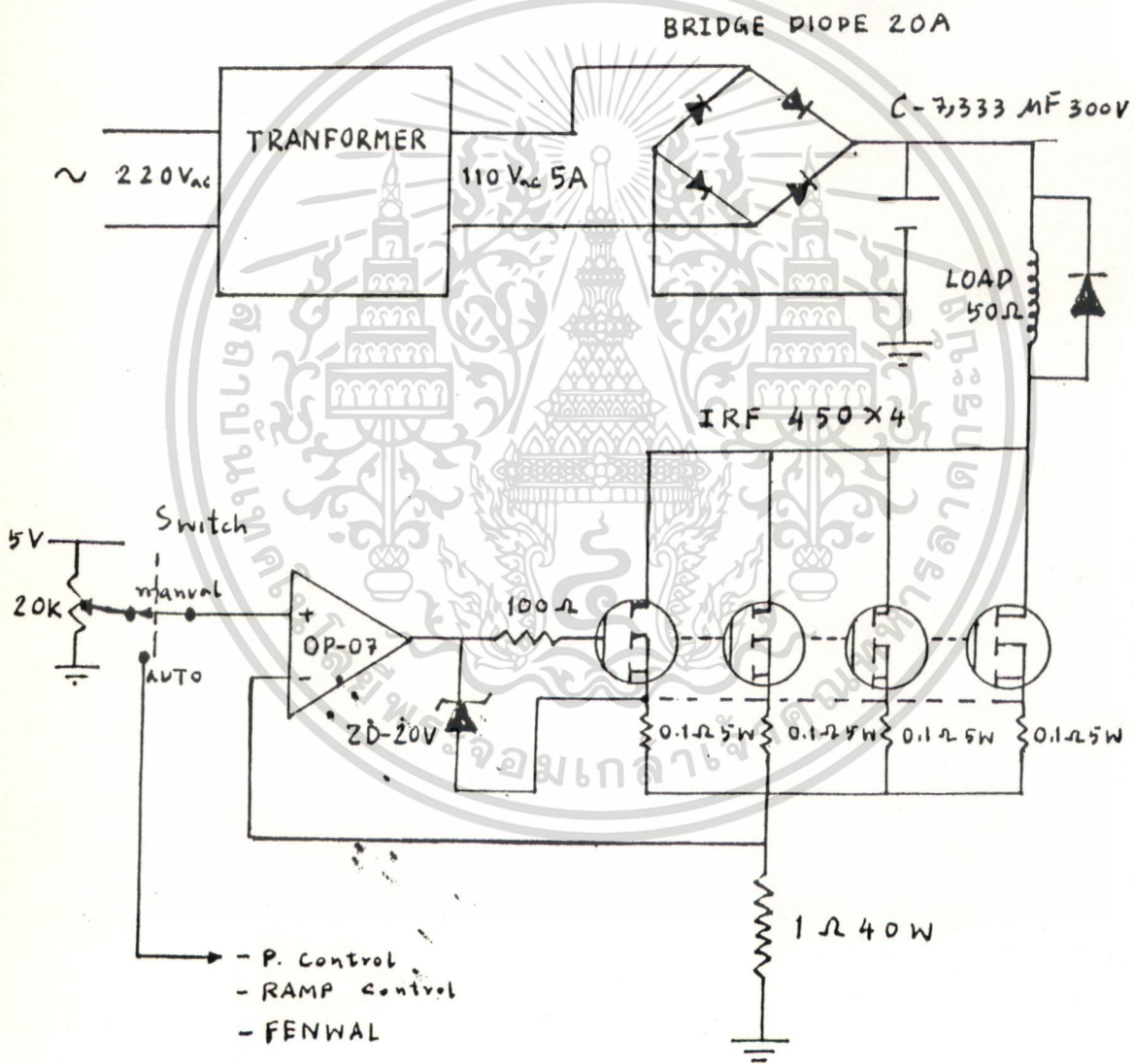
ขั้นตอนการสำรวจเริ่มต้นด้วยการสร้าง เครื่องวัดสัญญาณเวลาที่มีเตอร์ ขึ้นมา โดยการเลือกอุปกรณ์ทุกชนิดที่ใช้ควรคิดเอาที่มีค่าผิดพลาดน้อยมาก ๆ เช่น รีซิสเตอร์ ก็ควรใช้ค่าผิดพลาดประมาณ 1 เปอร์เซ็นต์ หรือ หอยเหินเชอร์ก็ควรเลือกใช้นับที่มีคุณภาพสูง ๆ จากพวกไฟลีเซสเตอร์ เป็นต้น

การปรับตั้งดิจิตอลวอลต์มิเตอร์ ให้ความแม่นยำตรงสูงที่สุด ซึ่งเราจะพบว่าจุดที่เราต้องการปรับตั้งก็อย่างละเอียดเหมือนกับ VR₁ เพียงจุดเดียวซึ่งก็นับว่าเป็นข้อดีของ IC เบอร์ 7107 ที่ช่วงให้เราปรับความละเอียด และรวดเร็วมากขึ้น ขั้นตอนแรกในการเริ่มปรับ เราจะตั้งค่าที่ตรงจ่ายไฟกระแสตรง ที่มีลักษณะค่อนข้างคงที่ไม่เปลี่ยนแปลงง่าย ๆ หรือแบบไม่มีรีเลย์เปิดปิดเอง ซึ่งเราได้ใช้นับเตอร์หรือถ่านไฟฉาย ขนาด 1.5 โวลต์ โดยต่อวอลต์มิเตอร์ที่ตำแหน่งปรับค่าให้ตรงค่า 1 เมกะโอมที่หัวขั้วกับนับเตอร์ แล้วเอาจากปลายขั้วที่ตรงตำแหน่งที่ต่อใช้งาน เพื่อเราได้ตั้งจ่ายตรงค่าที่เราใช้เรียบร้อยแล้ว เราก็จ่ายไฟเข้าที่ขั้วเวลาที่มีเตอร์ ในตอนเริ่มแรกนี้เราจะเห็นว่าที่หน้าจอแสดงผลจะแสดงตัวเลขเปลี่ยนไปเปลี่ยนมาไม่แน่นอน ในตอนนั้นขอให้เราอ่านนับเตอร์ว่า 1.5 โวลต์ ต่อเข้ากับขั้วของขั้วเวลาที่มีเตอร์ ในตอนนั้นตัวเลขจะแสดงค่าอะไรก็ช่างออกมา ให้เราทำการปรับ VR₁ อย่างช้า ๆ จนกว่าจะแสดงผลจะแสดงตัวเลขออกมาเป็น 1500 (ถ้าเราอ่านที่ A ของวอลต์มิเตอร์ที่อ่าน R₀ ลงกราวด์ ตัวเลขก็จะแสดงผลออกมาเป็น 1.500) หรือ -1.500 (ตัวเลขจะแสดงผลออกมาเป็นค่าลบหรือบวกก็ได้) ซึ่งก็กับเราต่อับนับเตอร์ที่ขั้วสัญญาณไฟเข้าข้างด้านอื่นทุกทีนั้นถูกซ้ำกันหรือไม่) ต่อไปเวลาตรงจ่ายไฟกระแสตรงขนาด 1 โวลต์ (โดยใช้มีเตอร์ที่เรานำมาใช้ว่าเที่ยงตรงวัด เช่น FLUKE) เข้าทางด้านอื่นทุกทีบ้าง ตามปกติแล้วจะแสดงผลจะแสดงตัวเลขออกมาเป็น 1000 ขั้นตอนสุดท้ายให้เราลองจับขั้วอื่นทุกทีทั้งสอง ตัวเลขจะแสดงผลออกมาเป็น 0000 ถ้าเป็นไปดังกล่าวนั้นก็แสดงว่า เครื่องวัดเวลาที่มีเตอร์นี้ พร้อมที่จะนำไปใช้งานได้แล้ว

หลังจากที่เราได้ดิจิตอลวอลต์มิเตอร์แล้ว เราก็เอาเอกสารสัญญาที่ได้จาก IC AD595 มาอ่าน Volume แบ่งแรงดัน แล้วก็เอาไปเข้าวอลต์มิเตอร์ โดยสายาวปรับแต่งเอกสารนี้เป็นเอกสารที่สงวนไว้สำหรับการใช้งานเพื่อการศึกษาเท่านั้น ไม่อนุญาตให้นำไปใช้ประโยชน์ด้านการค้าไม่ว่ากรณีใดๆทั้งสิ้น อีกทั้งห้ามมิให้ตัดแปลงเนื้อหา และต้องอ้างอิงถึงเจ้าของเอกสารทุกครั้งที่มีการนำไปใช้

อันเล็กน้อยหนึ่ง ก็ Volume แบ่งแรงดันนี้ ซึ่งเครื่องมือที่เราใช้ปรับเปรียบเทียบกับคือ เครื่องวัดความถี่ที่มีชื่อ FLUKE หลังจากค่าการปรับแต่งเรียบร้อยแล้วเราก็จะได้ เครื่องวัดความถี่ที่สามารถหาข้อผิดพลาดได้อย่างดี

3.2.4 การลว้างแหล่งจ่ายกระแสสแตบปรนความได้ เพื่อเป็นตัวอย่างผลงานให้กับ เตาไฟฟ้าที่ได้สร้างขึ้นมาแล้วซึ่งมีค่าความต้านทาน 50 โอห์ม โดยต่อวงจรดังรูป 3.2.7



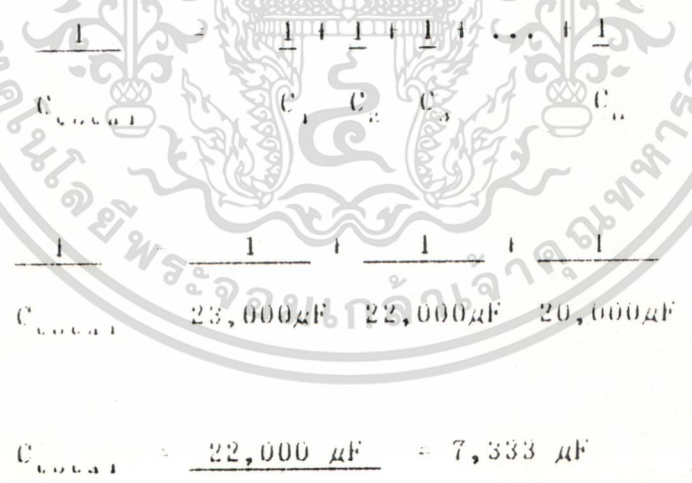
รูปที่ 3.2.7 เป็นวงจร Programmable Current Regulator

เอกสารนี้เป็นเอกสารที่สงวนไว้สำหรับการใช้งานเพื่อการศึกษาเท่านั้น ไม่อนุญาตให้นำไปใช้ประโยชน์ด้านการค้าไม่ว่ากรณีใดๆทั้งสิ้น อีกทั้งห้ามมิให้ตัดแปลงเนื้อหา และต้องอ้างอิงถึงเจ้าของเอกสารทุกครั้งที่มีการนำไปใช้

เครื่องที่สร้างขึ้นมาสามารถที่จะควบคุมได้ด้วยมือ หรือการ control จาก program ควบคุมได้ โดยการกดสวิตซ์ manual/auto

หลักการทางานของวงจรเป็นดังนี้ ลำดับการทำงานของแอมป์ของ voltage ที่ R = 1 ohm และการเปรียบเทียบกับค่า voltage ที่ขา 3 ของ op-amp จะขยายค่าให้ voltage ที่ขา 3 และ 2 มีค่าเท่ากัน โดยการ bias ที่ power MOS-FET ตามที่ voltage ที่ set หรือ program ไว้ จากหลักการเหล่านี้ ก็จะทำให้เราสามารถที่จะควบคุมกระแสที่ไหลผ่านเข้าสู่ load ซึ่งเป็นเตาไฟฟ้าของเราได้

ขั้นตอนในการสร้างที่เริ่มจากการวัดค่าความต้านทานของเตาเสียก่อน ซึ่ง load มีค่าเท่ากับ 50 โอห์ม หลังจากนั้นก็จึงพัฒนาคอนเวอร์เตอร์ไฟฟ้าให้มีค่า 110 V_{ac} 5 A ต่อไป ก็เลือก Bridge Diode Rectifier ของ Sanrex จากนั้นจึงเลือกตัวเก็บประจุที่จะใช้กรองให้เรียบขึ้น จึงได้ตัวเก็บประจุขนาด 22,000 μ F ที่ทนแรงดันได้ 100 Volt เมื่อได้ตัวเก็บประจุที่ขนาดนี้แล้ว สิ่งที่ต้องทำคือการเพิ่มค่าความต้านทานที่ขา 3 และขา 2 เพื่อป้องกันความเสียหายจากกระแสเกินของตัวเก็บประจุ จึงได้ขนาดตัวเก็บประจุอื่น ๆ ที่สามารถทนแรงดันได้ถึง 300 Volt แต่ค่าความต้านทานที่ขา 3 และขา 2



ซึ่งถ้าความถี่ที่ได้มีค่ามากเกินไปจนผลที่จะกระทบกระแสได้เรียบขึ้นได้ ซึ่งเราก็จะได้ Power Regulate unit DC แล้ว จากนั้นก็นำไปต่อเข้ากับตัวควบคุมกระแส โดยสามารถ Control ใน Mode Manual หรือ Auto ก็ได้โดยการกดสวิตซ์เพื่อไปยังคัม เอกสารนี้เป็นเอกสารที่สงวนไว้สำหรับการใช้งานเพื่อการศึกษาเท่านั้น ไม่อนุญาตให้นำไปใช้ประโยชน์ด้านการค้า ไม่ว่าจะกรณีใดๆทั้งสิ้น อีกทั้งห้ามมิให้ตัดแปลงเนื้อหา และต้องอ้างอิงถึงเจ้าของเอกสารทุกครั้งที่มีการนำไปใช้

Relay ให้ทำงาน เมื่ออยู่ใน Mode Manual เป็น Mode ที่เราสามารถปรับค่ากระแสที่ไหลผ่าน Load ได้ โดยการปรับ VR ที่ใช้แบ่งแรงดัน เลือกค่าแรงดัน ซึ่งตัว op-amp ก็จะพยายามทำให้แรงดันที่ป้อนกลับมีค่าเท่ากับกับแรงดันที่เลือกไว้

จะเห็นว่าเราสามารถคำนวณค่าแรงดันของกระแสที่ไหลผ่าน Load ได้ดังนี้

$$I_{load} = V_{reference} / R = 1 \text{ ohm} \\ = V_{reference} \text{ Amp.}$$

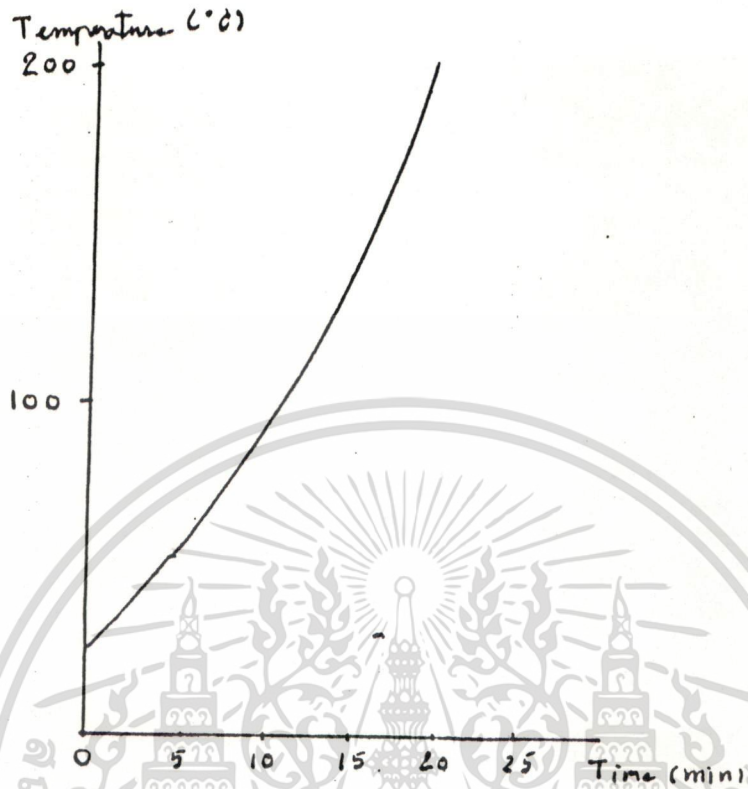
แต่ในทางใช้งาน เราจะใช้วัดค่า $V_{reference}$ เพราะเป็นสิ่งที่ง่ายกว่าสำหรับ การ Control ใน Mode นี้ จึงได้นำ Amp meter มาติดเอาไว้หน้าตู้ และได้นำ Voltmeter มาด้วยเช่นกัน โดยจะเอาไปวัดค่าแรงดันที่หน้า Load เพื่อเอาไว้พิจารณาค่าอื่น ๆ อีกต่อไป เช่น ค่ากำลังวัตต์จากสูตร $P = IV$ เป็นต้น

การ Control ใน Mode Manual นี้ เป็นการ Control ที่ปล่อยผู้ควบคุมให้ขึ้นแบบอิสระ ซึ่งมีลักษณะการวัดขึ้นของอุณหภูมิตาม Function ของ P-TR ดังรูปที่ 3.2.8 ซึ่งได้จากการทดลอง

ตารางที่ 3.2.1 การวัดอุณหภูมิของอุณหภูมิของเวลาเทียบกับเวลา

Time (min)	Temperature (°C)
0	25
5	50
10	90
15	130
20	190
25	220

เอกสารนี้เป็นเอกสารที่สงวนไว้สำหรับการใช้งานเพื่อการศึกษาเท่านั้น ไม่อนุญาตให้นำไปใช้ประโยชน์ด้านการค้าไม่ว่ากรณีใดๆทั้งสิ้น อีกทั้งห้ามมิให้ตัดแปลงเนื้อหา และต้องอ้างอิงถึงเจ้าของเอกสารทุกครั้งที่มีการนำไปใช้

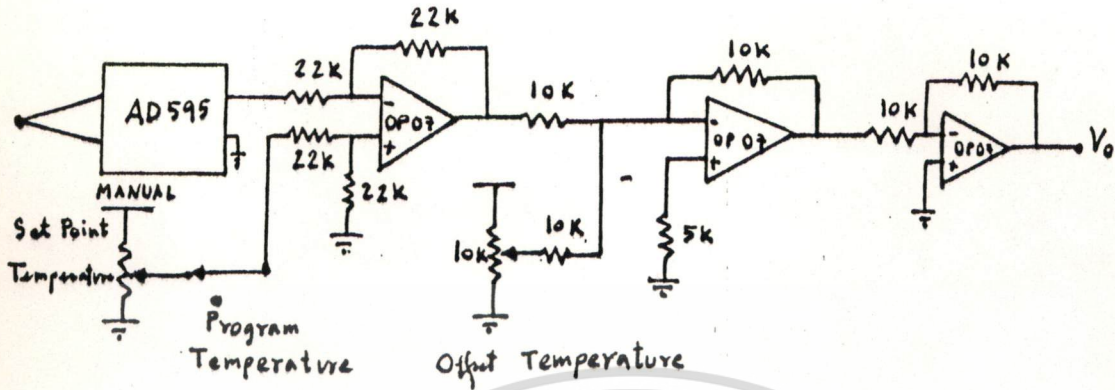


รูปที่ 3.2.8 แสดงอุณหภูมิของเตาที่ไม่มีภาวควบคุม

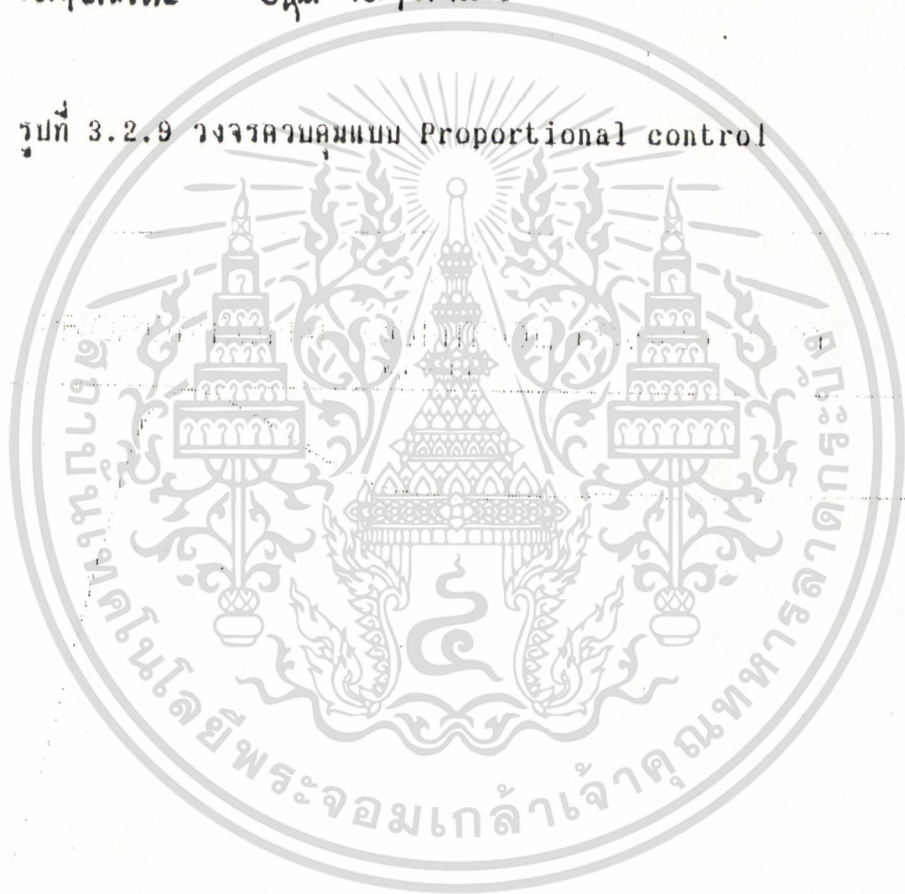
ต่อไปก็จะเป็นการ control mode auto เป็น mode ที่ใช้ในการ program ค่า voltage จากภายนอก เช่น การโปรแกรมจากชุด control แบบ proportional control หรือจากชุด control ของ FENWAL ก็ได้

หลังจากการต่อวงจรและประกอบติดตั้งกล่อง Rack มาตรฐานเรียบร้อยแล้ว ก็จะได้ Current Source อย่างดี เพื่อจ่ายกำลังงานให้แก่เตาไฟฟ้า

ต่อไปก็จะเป็นวงจรควบคุมแบบ Proportional control



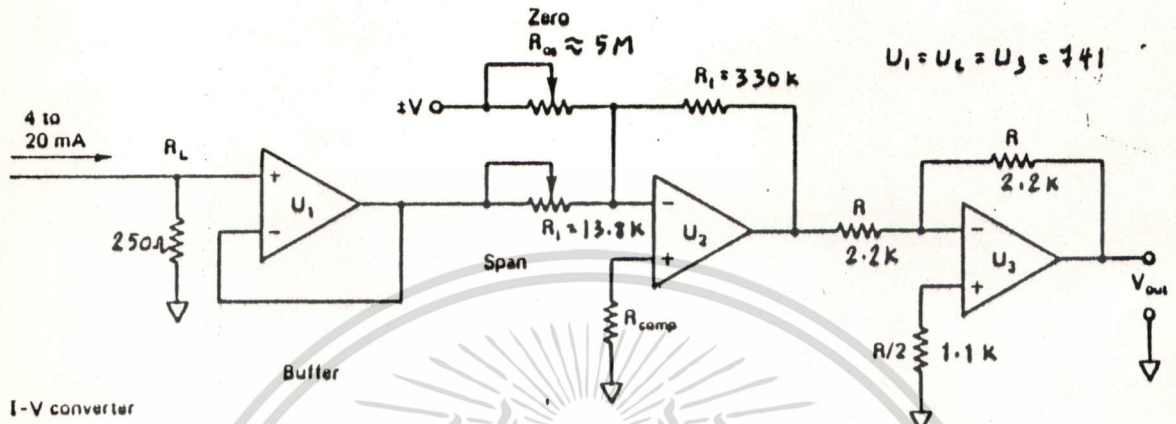
รูปที่ 3.2.9 วงจรควบคุมแบบ Proportional control



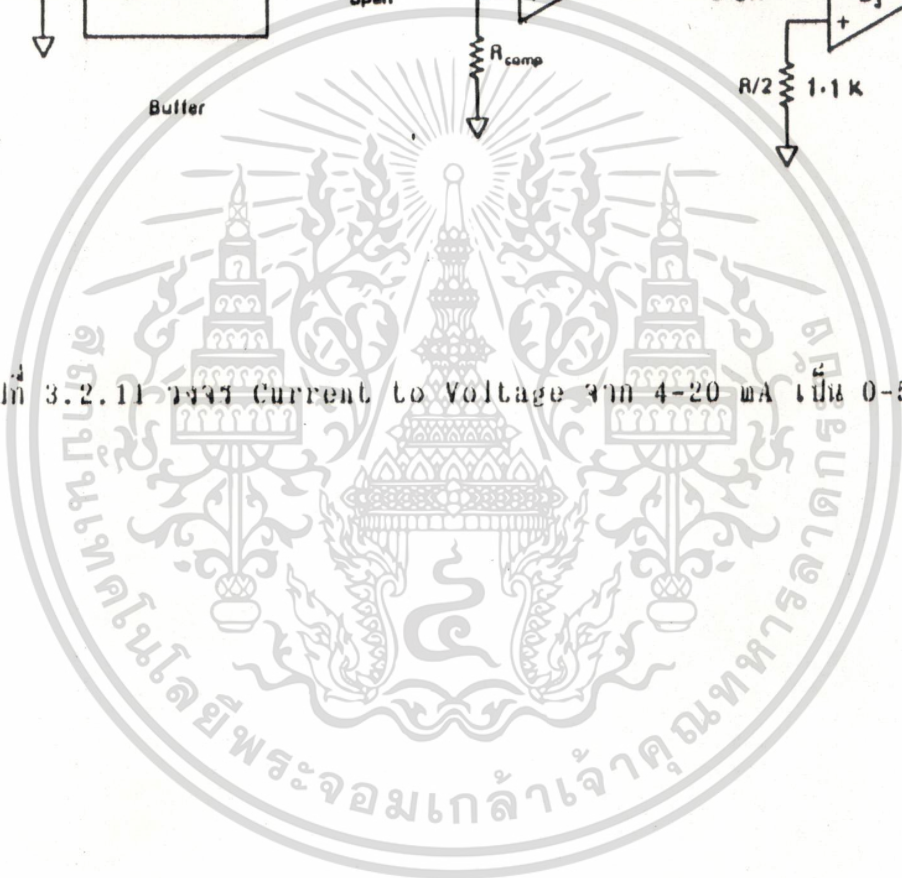
รูปที่ 3.2.10 ผลการทดลองควบคุม

เอกสารนี้เป็นเอกสารที่สงวนไว้สำหรับการใช้งานเพื่อการศึกษาเท่านั้น ไม่อนุญาตให้นำไปใช้ประโยชน์ด้านการค้า
ไม่ว่ากรณีใดๆทั้งสิ้น อีกทั้งห้ามมิให้ดัดแปลงเนื้อหา และต้องอ้างอิงถึงเจ้าของเอกสารทุกครั้งที่มีการนำไปใช้

ต่อไปที่จะเป็นวงจร Current to Voltage Converter จาก 4-20 mA เป็น 0-5 V วงจรนี้เป็นส่วนหนึ่งของตัวควบคุมที่ใช้ร่วมกับ FENWAL เพื่อที่จะเปลี่ยนกระแสให้เป็นค่าวอลต์ตรง ก่อนที่จะไปให้แก่อุปกรณ์ DC Current Source ดังรูป

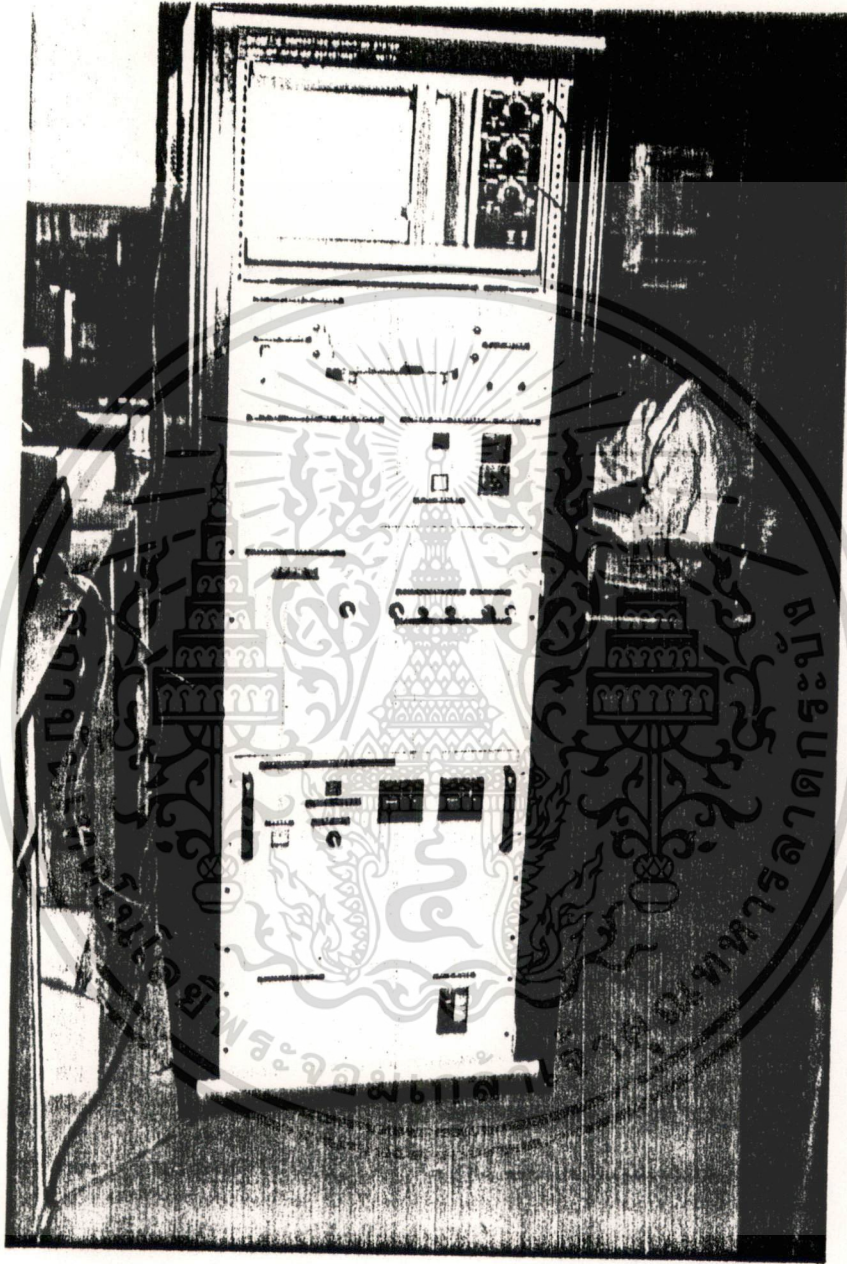


รูปที่ 3.2.11 วงจร Current to Voltage จาก 4-20 mA เป็น 0-5 V



เอกสารนี้เป็นเอกสารที่สงวนไว้สำหรับการใช้งานเพื่อการศึกษาเท่านั้น ไม่อนุญาตให้นำไปใช้ประโยชน์ด้านการค้าไม่ว่ากรณีใดๆทั้งสิ้น อีกทั้งห้ามมิให้ตัดแปลงเนื้อหา และต้องอ้างอิงถึงเจ้าของเอกสารทุกครั้งที่มีการนำไปใช้

หลังจากทำการออกแบบและสร้างส่วนประกอบต่างๆ แล้วทำการประกอบ
ตัวเครื่องลงในตู้ Rack มาตรฐาน เราก็จะได้ เครื่องทดสอบคุณสมบัติของสารแม่เหล็ก
ดังรูปที่ 3.2.12



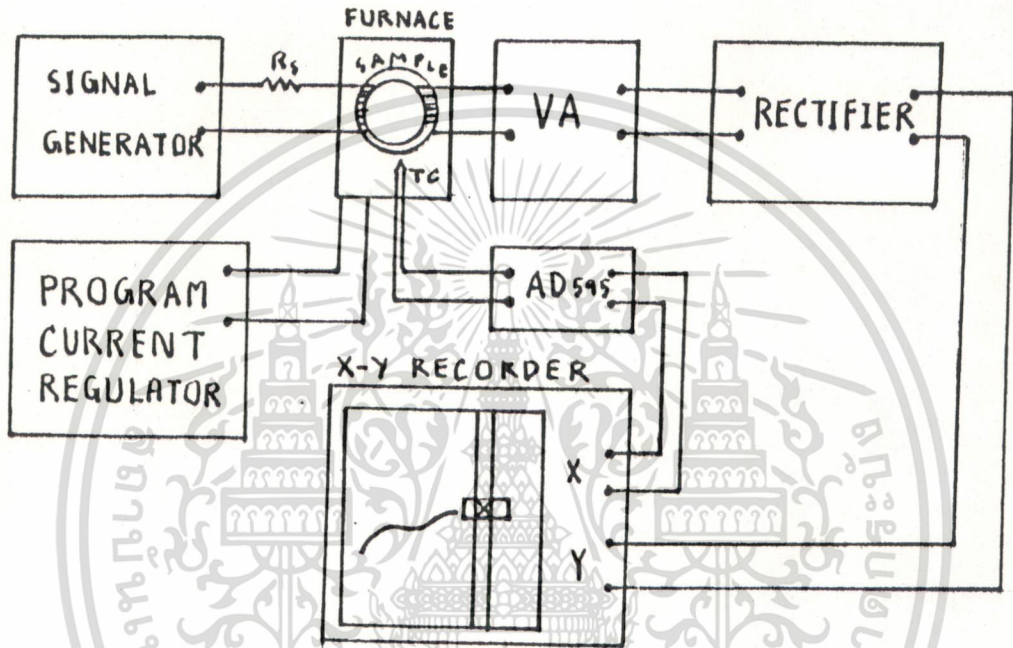
รูปที่ 3.2.12 เครื่องทดสอบคุณสมบัติของสารแม่เหล็ก

เอกสารนี้เป็นเอกสารที่สงวนไว้สำหรับการใช้งานเพื่อการศึกษาเท่านั้น ไม่อนุญาตให้นำไปใช้ประโยชน์ด้านการค้า
ไม่ว่ากรณีใดๆทั้งสิ้น อีกทั้งห้ามมิให้ตัดแปลงเนื้อหา และต้องอ้างอิงถึงเจ้าของเอกสารทุกครั้งที่มีการนำไปใช้

บทที่ 4

ผลการวัดอุณหภูมิวิกฤตของสารแม่เหล็ก

แผนผังการทดลอง



รูปที่ 4.1 - แผนผังของการทดลอง

วิธีการทดลองวัด

เริ่มด้วยการนำเอาแกนเทอร์รอยด์มาพันลวดให้ได้จำนวนรอบที่ต้องการ แล้วป้อนสัญญาณกระแสสลับจากเครื่องกำเนิดสัญญาณ โดยต่อตัวต้านทานแบบอนุกรมทางด้านขดลวดปฐมภูมิ เพื่อที่จะดูว่ามีกระแสไหลผ่านเท่าใดจากโวลต์ที่ตกคร่อมตัวต้านทานด้วย ออสซิลโลสโคป จากนั้นนำขดลวดทุติยภูมิไปเข้าเครื่องขยายโวลต์ แล้วจึงทำการกรองไฟให้เรียบ ร้อยก่อนที่จะส่งผ่านไปเข้าทางแกน Y ของเครื่องบันทึกการเปลี่ยนแปลงของสัญญาณ ส่วนทางแกน X จะนำสัญญาณจาก Thermocouple มาผ่าน เครื่องวัดอุณหภูมิ AD 595 แล้วสัญญาณที่ได้มาเข้าทางแกน X ของเครื่องบันทึกการเปลี่ยนแปลงของสัญญาณ

เอกสารนี้เป็นเอกสารที่สงวนไว้สำหรับการใช้งานเพื่อการศึกษาเท่านั้น ไม่อนุญาตให้นำไปใช้ประโยชน์ด้านการค้าไม่ว่ากรณีใดๆทั้งสิ้น อีกทั้งห้ามมิให้ตัดแปลงเนื้อหา และต้องอ้างอิงถึงเจ้าของเอกสารทุกครั้งที่มีการนำไปใช้

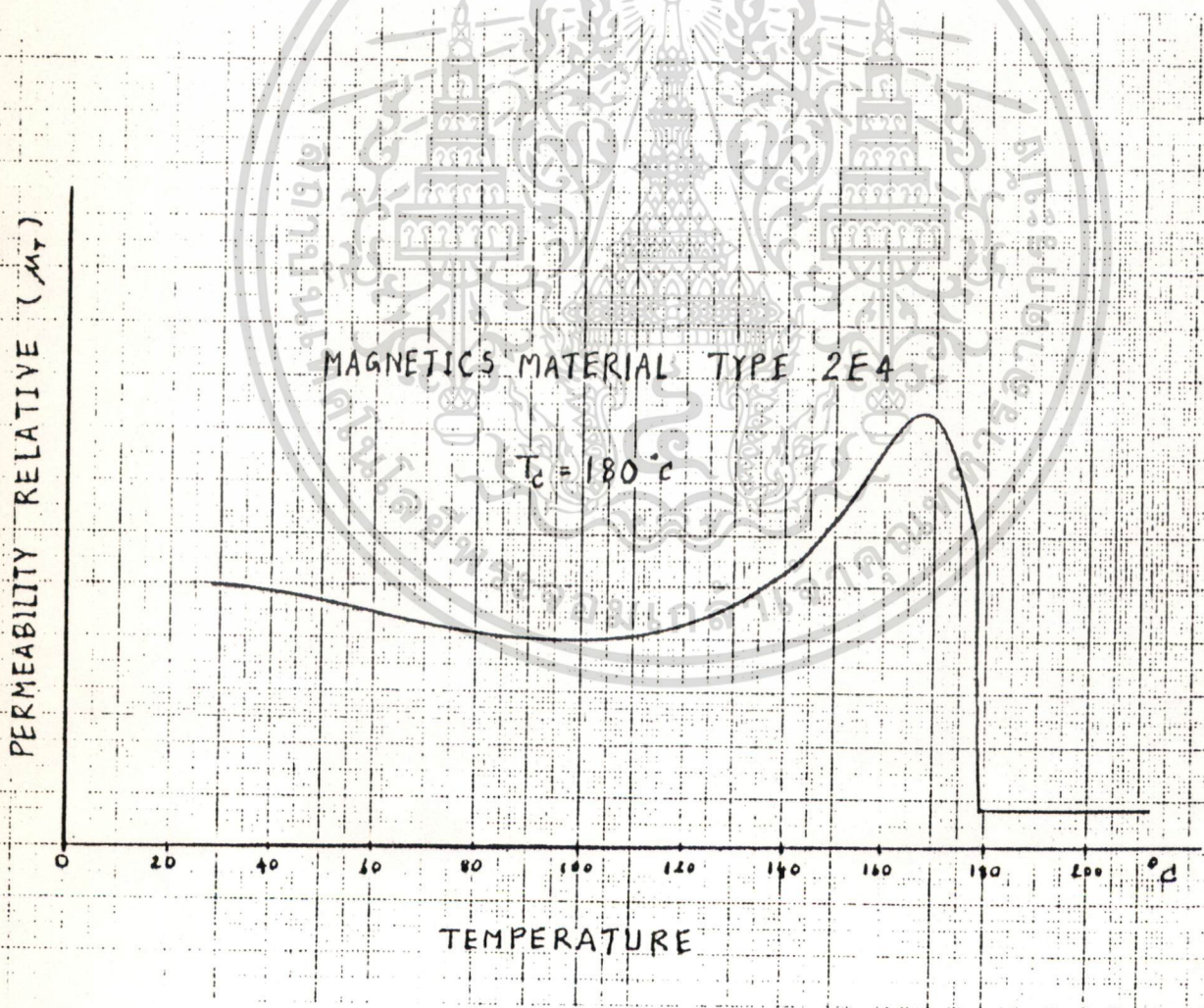
สุดท้ายก็นำเอาแกนที่ขมวดไปเข้าเตา แล้วทำการปรับตั้งเครื่องบันทึกการเปลี่ยนแปลงของสัญญาณ X-Y จากนั้นทำการเปิดเครื่องให้ความร้อนแก่เตา แล้วสังเกตผลการทดลองที่เครื่องบันทึกการเปลี่ยนแปลงของสัญญาณ X-Y

ข้อแนะนำ

ไม่ควรทำการปรับกระแสส่วนเกินไป เพราะอาจจะทำให้เกิดการไหม้ตัวได้ กระแสที่ใช้งานประมาณ 0-10 mA ก็เพียงพอ นอกจากนี้ก็ควรปรับตั้งค่าการขยายของสัญญาณไม่ให้มากเกินไป จะเกิดการไหม้ตัวอีกเนื่องจาก การขยายสัญญาณมากเกินไป

ผลการทดลอง

สำหรับตัวสาร 2E4 เมื่อนำมาวางท่อนส่วนหัวเครื่องวัดอุณหภูมิวิกฤต ได้ดังรูป

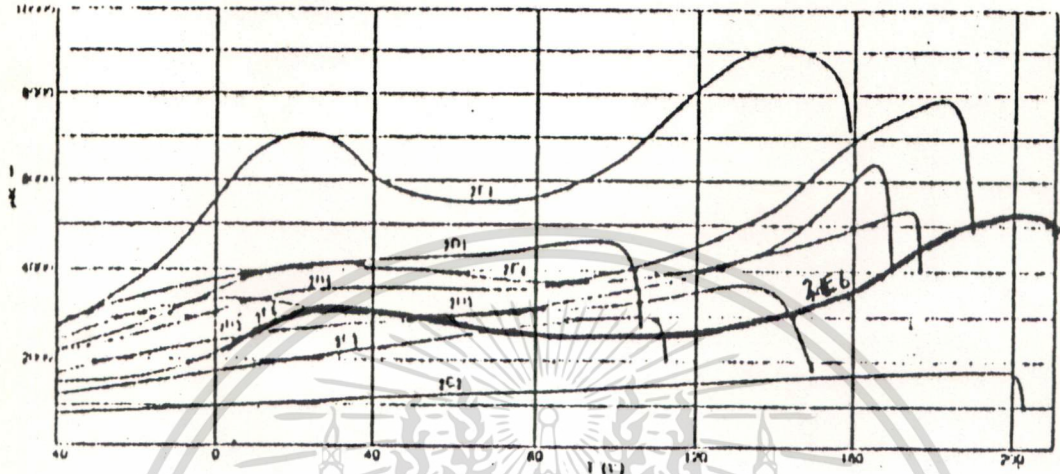


รูปที่ 4.2 ผลการทดลองของสารตัวอย่าง 2E4

เอกสารนี้เป็นเอกสารที่สงวนไว้สำหรับการใช้งานเพื่อการศึกษาเท่านั้น ไม่อนุญาตให้นำไปใช้ประโยชน์ด้านการค้า ไม่ว่าจะกรณีใดๆทั้งสิ้น อีกทั้งห้ามมิให้ตัดแปลงเนื้อหา และต้องอ้างอิงถึงเจ้าของเอกสารทุกครั้งที่มีการนำไปใช้

กราฟของสารตัวอย่างชนิดต่างๆ จากขี้ผลิต

Permeability Factor as a Function of Temperature



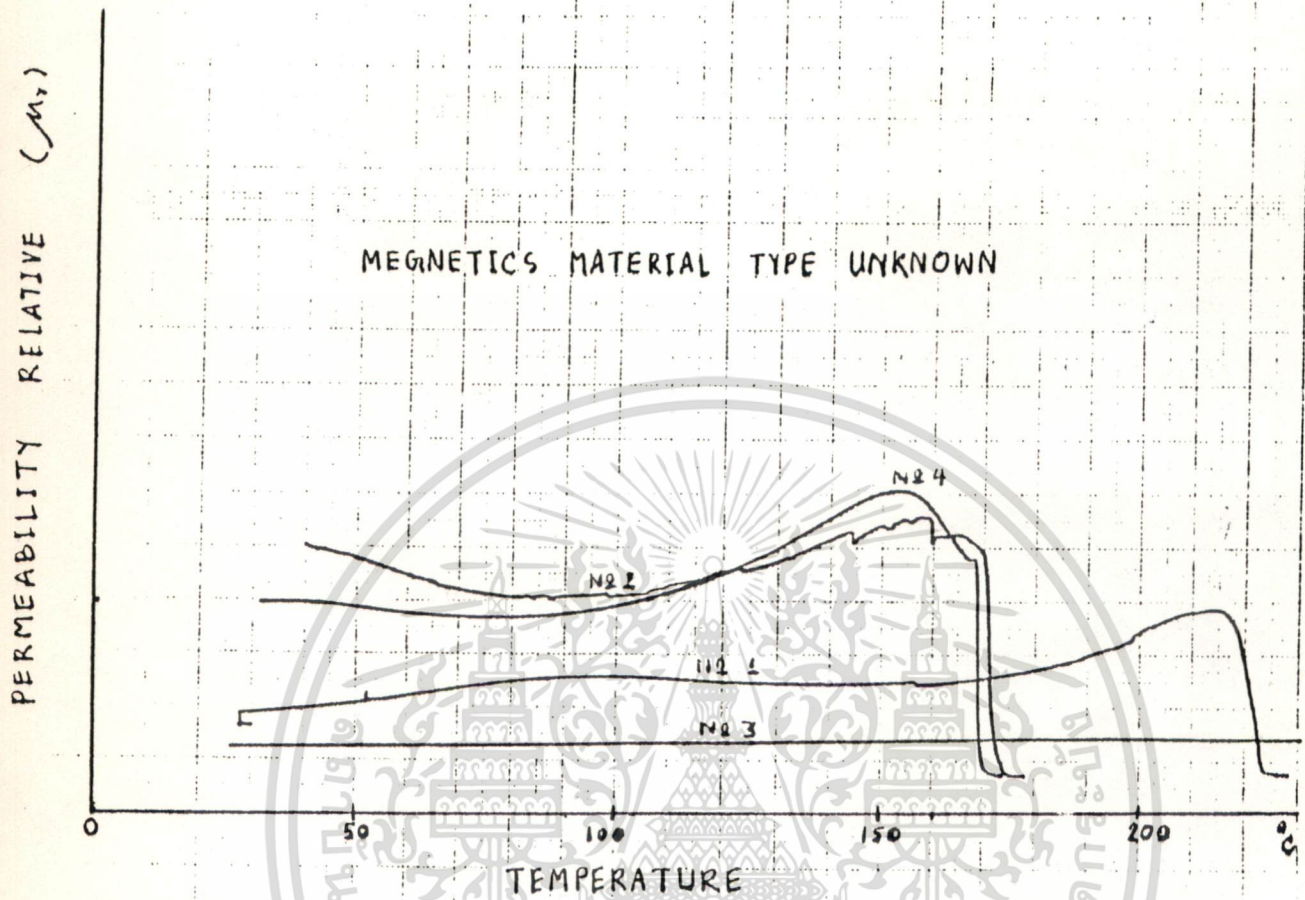
รูปที่ 4.3 กราฟของสารตัวอย่างชนิดต่างๆ จากขี้ผลิต

จากผลการทดลองของสาร 2E4 เมื่อทำการเปรียบเทียบเทียบกับขี้ผลิต จะเห็นว่า มีลักษณะความล้มเหลวของค่าสภาพซึมซาบทางแม่เหล็กกับคุณสมบัติ โทลีนีตซึ่งกับกราฟของขี้ผลิต ที่แสดงให้เห็นได้ว่า เครื่องวัดคุณสมบัติวิกฤตของสารแม่เหล็กที่ได้สร้างขึ้นมา มีส่วนที่จะ วิเคราะห์คุณสมบัติและสามารถที่จะหาความสัมพันธ์ของค่าสภาพซึมซาบทางแม่เหล็กกับคุณสมบัติ ได้

หลังจากนี้จึงได้ทำการวัดคุณสมบัติของสารที่ไม่ทราบข้อมูลมาก่อน หลายชนิดได้

ดังรูปที่ 4.4

เอกสารนี้เป็นเอกสารที่สงวนไว้สำหรับการใช้งานเพื่อการศึกษาเท่านั้น ไม่อนุญาตให้นำไปใช้ประโยชน์ด้านการค้า ไม่ว่ากรณีใดๆทั้งสิ้น อีกทั้งห้ามมิให้ดัดแปลงเนื้อหา และต้องอ้างอิงถึงเจ้าของเอกสารทุกครั้งที่มีการนำไปใช้



รูปที่ 4.4 ผลการทดลองของสารที่ไม่ทราบชื่อเพิ่มเติม

- | | | |
|----------------------|------------------------|--------|
| สารตัวอย่างชนิดที่ 1 | มีอุณหภูมิวิกฤตเท่ากับ | 215 °C |
| สารตัวอย่างชนิดที่ 2 | มีอุณหภูมิวิกฤตเท่ากับ | 170 °C |
| สารตัวอย่างชนิดที่ 3 | มีอุณหภูมิวิกฤตมากกว่า | 215 °C |
| สารตัวอย่างชนิดที่ 4 | มีอุณหภูมิวิกฤตเท่ากับ | 169 °C |

เอกสารนี้เป็นเอกสารที่สงวนไว้สำหรับการใช้งานเพื่อการศึกษาเท่านั้น ไม่อนุญาตให้นำไปใช้ประโยชน์ด้านการค้า ไม่ว่าจะกรณีใดๆทั้งสิ้น อีกทั้งห้ามมิให้ตัดแปลงเนื้อหา และต้องอ้างอิงถึงเจ้าของเอกสารทุกครั้งที่มีการนำไปใช้

บทที่ 5

สรุปผลการวิจัยและข้อเสนอแนะ

สรุปผลการวิจัย

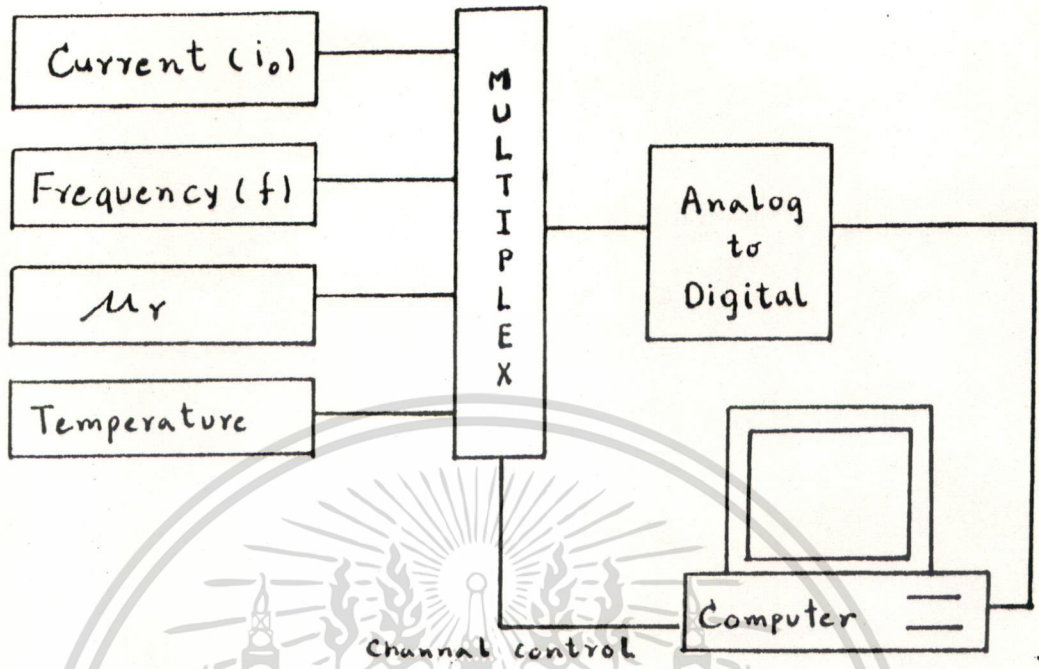
จากผลการทดลองต่างๆที่ผ่านมา โดยการใช้เครื่องวัดอุณหภูมิวิกฤตที่สร้างขึ้นมา เราสามารถที่จะหาค่าสภาพซึมซาบทางแม่เหล็กสัมพันธ์กับอุณหภูมิ และสุดท้ายก็จะได้ว่าของอุณหภูมิวิกฤต โดยสารที่ต่างชนิดกันก็จะมีลักษณะของกราฟที่แตกต่างกันไป ตามโครงสร้างภายในของสารที่ใช้กำหนดกรอบคิด เนื่องจากที่สารต่างๆเหล่านี้ มีค่าสภาพซึมซาบทางแม่เหล็กที่ไม่เท่ากันในแต่ละอุณหภูมิต่างๆ ทำให้เราสามารถเลือกสารแต่ละชนิดมาใช้ในงานโยนงานทางด้านงานอิเล็กทรอนิกส์ต่างๆ ตามความเหมาะสมได้ โดยไม่ควรใช้ในย่านของอุณหภูมิวิกฤต ถึงแม้ที่ก่อนจะเกิดอุณหภูมิวิกฤตจะมีค่าสภาพซึมซาบทางแม่เหล็กสูงก็ตาม ก็ไม่ควรจะเลือก เพราะถ้าอุณหภูมิเกิดการเพิ่มขึ้นจนถึงอุณหภูมิวิกฤต เราก็ไม่สามารถที่จะใช้งาน ทำให้เครื่องหยุดการทำงานได้

ข้อเสนอแนะในการพัฒนาครั้งต่อไป

จากการสังเกตผลที่เครื่องวัดมีการเปลี่ยนแปลงของสัญญาณ ควรเปลี่ยนไปใช้เครื่องคอมพิวเตอร์ ซึ่งจะลดงานจะมีทั้งข้อมูลเก็บลงหน่วยความจำได้ ก็คือ การประมวลผลที่รับก่อนได้ โดยให้มีภาวรับค่าตัวแปรที่ใช้ในค่าความถี่ต่างๆ ดังนี้ รับค่ากระแสจากดาววัดค่าแรงดันที่หม้อหม้อค่าความต้านทานที่ต่ออนุกรมระหว่างเครื่องกำเนิดสัญญาณกับขดลวดปฐมภูมิ และรับค่าความถี่ จากวงจรแปลงให้เป็นค่าแรงดัน ส่วนค่าสภาพซึมซาบทางแม่เหล็กกับค่าอุณหภูมิที่รับเป็นค่าแรงดันด้วย แล้วต่อไปก็นำค่าแรงดันที่ได้มาผ่านการเลือกสัญญาณโดยคอมพิวเตอร์ เพื่อเปลี่ยนสัญญาณทางอนาลอกเป็นดิจิทัลให้คอมพิวเตอร์ประมวลผลต่อไป ส่วนตัวแปรที่ไม่สามารถวัดได้จากเครื่องคอมพิวเตอร์ เช่น สัดส่วนต่างๆของแกนทรอยด์ ก็ให้ภาคการป้อนข้อมูลผ่านทางบอร์ดแทน แล้วนำไปแสดงผลออกทางจอคอมพิวเตอร์ ดังรูปที่ 5

เอกสารนี้เป็นเอกสารที่สงวนไว้สำหรับการใช้งานเพื่อการศึกษาเท่านั้น ไม่อนุญาตให้นำไปใช้ประโยชน์ด้านการค้าไม่ว่ากรณีใดๆทั้งสิ้น อีกทั้งห้ามมิให้ตัดแปลงเนื้อหา และต้องอ้างอิงถึงเจ้าของเอกสารทุกครั้งที่มีการนำไปใช้

แผนผังการพัฒนาระบบเดิม



เอกสารนี้เป็นเอกสารที่สงวนไว้สำหรับการใช้งานเพื่อการศึกษาเท่านั้น ไม่อนุญาตให้นำไปใช้ประโยชน์ด้านการค้า
ไม่ว่ากรณีใดๆทั้งสิ้น อีกทั้งห้ามมิให้ตัดแปลงเนื้อหา และต้องอ้างอิงถึงเจ้าของเอกสารทุกครั้งที่มีการนำไปใช้

เอกสารอ้างอิง

1. เสวีเนตร์ เนาประทีป และ CNS, ออปแอมป์, ครั้งที่ 1, หน้า 17 21-24
26-29, ฟิลิกส์เซ็นเตอร์, กรุงเทพฯ ฯ.
2. สว่าง ประชากรรังทอง, เซมิคอนดักเตอร์อิเล็กทรอนิกส์, ครั้งที่ 1, หน้า
246-249, ซีไอทีเคเซ็น, กรุงเทพฯ ฯ.
3. J. MICHAEL JACOB, Industrial Control Electronics, 3 st
ed., pp. 234 280-282 286-289 292-296 303-306,
Prentice-Hall International Editions,
Singapore, 1989.
4. E Cedillo, J Ocampo, V Rivera and R Valenzuela, J.
Phys. E: Sci. Instrum., Vol. 13., ed., pp. 383-386,
Great Britain, 1980.
5. ANNUAL BOOK OF ASTM STANDARDS, volume 03.04., ed., pp.
234-237, AMERICAN SOCIETY FOR TESTING AND
MATERIALS, 1985.
6. Globus A 1977 Some physical considerations about the
'domain wall size' theory of magnetization
mechanisms J. Physique. 38 C1-1-15
7. Globus A and Duplex P 1966 Separation of susceptibility
mechanisms for ferrites of low anisotropy IEEE
Trans. Magn. MAG-2 441-5

เอกสารนี้เป็นเอกสารที่สงวนไว้สำหรับการใช้งานเพื่อการศึกษาเท่านั้น ไม่อนุญาตให้นำไปใช้ประโยชน์ด้านการค้า
ไม่ว่ากรณีใดๆทั้งสิ้น อีกทั้งห้ามมิให้ตัดแปลงเนื้อหา และต้องอ้างอิงถึงเจ้าของเอกสารทุกครั้งที่มีการนำไปใช้

หัวข้อคำขั้แจง

ประกอบการของงบประมาณโครงการวิจัย

ปีงบประมาณ 2535

ภาควิชาฟิสิกส์ประยุกต์

คณะวิทยาศาสตร์

สถาบันเทคโนโลยีพระจอมเกล้าเจ้าคุณทหารลาดกระบัง

ทบวงมหาวิทยาลัย

โครงการวิจัยลำดับที่.....

1. ชื่อโครงการ การสร้างและพัฒนาวัสดุคอบอุณหภูมิวิกฤติของสารแม่เหล็ก
(Construction and Development of critical temperature magnetic materials)

2. ประวัติหัวหน้าโครงการและคณะวิจัย

หัวหน้าโครงการ นายวิชิต ศิริโชค (Mr. Wichit Sirichote)

วท.บ. (ฟิสิกส์ประยุกต์) พระจอมเกล้า ลาดกระบัง

วท.ม. (เครื่องมือวัดทางฟิสิกส์) จุฬาลงกรณ์มหาวิทยาลัย

ผู้ร่วมวิจัย นายอารี วิเชียรจาช (Dr. Aree Wichianchai)

ผู้ช่วยศาสตราจารย์ระดับ 6 ภาควิชาฟิสิกส์ประยุกต์ (สจล.)

กศ.บ. (เกียรตินิยม) (ฟิสิกส์) มศว. ปทุมวัน

วท.ม. (โพลีเมอร์ฟิสิกส์ เซลแสงอาทิตย์ และหัววัดรังสีอัลฟา)

จุฬาลงกรณ์มหาวิทยาลัย

Docteur d'etat es Science (Solid-State Physics)

Bordeaux University, FRANCE

หน่วยงานที่สังกัด ภาควิชาฟิสิกส์ประยุกต์ คณะวิทยาศาสตร์

สถาบันเทคโนโลยีพระจอมเกล้าเจ้าคุณทหารลาดกระบัง (สจล.)

กรุงเทพฯ. 10520

โทร. 326-7320-9 ต่อ 396

เอกสารนี้เป็นเอกสารที่สงวนไว้สำหรับการใช้งานเพื่อการศึกษาเท่านั้น ไม่อนุญาตให้นำไปใช้ประโยชน์ด้านการค้า
ไม่ว่ากรณีใดๆทั้งสิ้น. อีกทั้งห้ามมิให้ตัดแปลงเนื้อหา และต้องอ้างอิงถึงเจ้าของเอกสารทุกครั้งที่มีการนำไปใช้

ผลงานของหัวหน้าโครงการ

- หัวหน้าโครงการวิจัยเรื่อง " Data acquisition system for high performance liquid chromatograph"
- สร้างเครื่อง B-H loop tracer

ผลงานวิจัยที่ได้รับการพิมพ์เผยแพร่ของหัวหน้าโครงการ

- "Computerized C-V System for Characterizing semiconductor junction", 13th Conference on science and technology of Thailand, Prince of Songkla University, 1987.
- "Electronics Flux Meter" 15th Conference on science and technology of Thailand ,Chiang Mai University , 1989.
- "Constant Current Source for Measuring Conductivity of High T_c Superconductor" 15th Conference on science and technology of Thailand ,Chiang Mai University ,1989.
- "DC Electronic Hysteresigraph (Ring Test) , 15th Conference on science and technology of Thailand ,Chiang Mai University ,1989.
- "DC Electronic Hysteresigraph (Permeameter Test) , 15th Conference on science and technology of Thailand , Chiang Mai University ,1989.
- "High Voltage DC Power Supply For Sputtering System (2 kV 200 W) , 15th Conference on science and technology of Thailand ,Chiang Mai University ,1989.
- "An Inexpensive High Temperature Electric Furnace for Preparing New Semiconductor Materials" ,15th Conference on science and technology of Thailand, Chiang Mai University ,1989.

เอกสารนี้เป็นเอกสารที่สงวนไว้สำหรับการใช้งานเพื่อการศึกษาเท่านั้น ไม่อนุญาตให้นำไปใช้ประโยชน์ด้านการค้า
ไม่ว่ากรณีใดๆทั้งสิ้น อีกทั้งห้ามมิให้ตัดแปลงเนื้อหา และต้องอ้างอิงถึงเจ้าของเอกสารทุกครั้งที่มีการนำไปใช้

- "A Construction of 2 Tesla Electromagnet with Local Materials" ,15th Conference on science and technology of Thailand , Chiang Mai University , 1989.

งานวิจัยที่กำลังดำเนินงานในปัจจุบัน

- Data acquisition system for high performance liquid chromatograph
- สร้างและพัฒนาเครื่องอิเล็กทรอนิกส์เรย์ดิฟแฟรคโตมิเตอร์แบบกึ่งอัตโนมัติ

3. สาขาวิชาการที่ทำการวิจัย วิทยาศาสตร์กายภาพ (ฟิสิกส์ประยุกต์)

4. ประเภทของงานวิจัย การวิจัยประยุกต์

5. ความสำคัญและที่มาของปัญหาที่ทำการวิจัย

ในปัจจุบันสารแม่เหล็กได้เข้ามามีบทบาทที่สำคัญในเทคโนโลยีสมัยใหม่อย่างมาก โดยเฉพาะเครื่องไฟฟ้าซึ่งทั่วไปมักจะมีสารแม่เหล็กประกอบอยู่เสมอ และยิ่งนับวันก็จะมามีบทบาทมากขึ้น ดังจะเห็นได้จากการมีอุตสาหกรรมผลิตสารแม่เหล็กในเมืองไทย ได้เพิ่มขึ้นเป็น 3 โรง เช่น Thai ferrite, Pro-technology และ OTG เป็นต้น แต่โรงงานส่วนใหญ่ยังคงเป็นของชาวต่างชาติมาลงทุน

ในการวัดคุณสมบัติของสารแม่เหล็ก โดยทั่วไปมักจะวัดเกี่ยวกับฟังก์ชันของค่า permeability ซึ่งเป็นค่าที่ไวมากในการที่จะบอกคุณสมบัติของสารแม่เหล็ก ดังนั้นในการเลือกนำเอาสารแม่เหล็กไปใช้งาน สิ่งแรกที่จะต้องพิจารณาอย่างหนึ่งจะต้องทราบคือ จุดวิกฤติของอุณหภูมิ

6. วัตถุประสงค์ของโครงการวิจัย

- 6.1 เพื่อสร้างและพัฒนาชุดวัดอุณหภูมิวิกฤติของสารแม่เหล็ก
- 6.2 เพื่อศึกษาเทคโนโลยีด้านการสร้าง เครื่องมือวัดและตรวจสอบคุณสมบัติของสารแม่เหล็กชนิดต่าง ๆ ทั้งที่เป็นชนิด soft ferrite และ hard ferrite

เอกสารนี้เป็นเอกสารที่สงวนไว้สำหรับการใช้งานเพื่อการศึกษาเท่านั้น ไม่อนุญาตให้นำไปใช้ประโยชน์ด้านการค้า ไม่ว่ากรณีใดๆทั้งสิ้น อีกทั้งห้ามมิให้ตัดแปลงเนื้อหา และต้องอ้างอิงถึงเจ้าของเอกสารทุกครั้งที่มีการนำไปใช้

จะได้รับโครงการนี้

ศึกษาและอาจารย์จะได้เรียนรู้หลักการทํางานของชุดวัดอุณหภูมิวิกฤติ

2. เรียนรู้ปัญหาในการสร้างชุดวัดอุณหภูมิวิกฤติของสารแม่เหล็ก

7.3 ทําให้ได้ชุดวัดอุณหภูมิวิกฤติของสารแม่เหล็ก ที่จะนำไปใช้งานการวัดหาพารามิเตอร์ของสารแม่เหล็กชนิดต่าง ๆ ก่อนที่จะนำไปใช้งาน และใช้สำหรับงานสอนภาคปฏิบัติและงานวิจัย

8. งานวิจัยที่เกี่ยวข้องและเอกสารอ้างอิง

- E. Cedillo, J. Ocampo, V. Rivera and R. Valenzuela , J. Phy. E : Sci. Instrum. Vol. 13. 1980 p. 383 .
- R.S. Tebble and D.J. Craik., Magnetic Materials (New York : Wiley Interscience) 1969. p. 255 .
- A. Globus and R. Valenzuela, IEEE trans. magn. MAG-II, 1975 pp.1300-2 .

9. ระเบียบวิธีวิจัย

- | | |
|--------------|---|
| ขั้นตอนที่ 1 | สร้างชุดกำเนิดสารแม่เหล็ก |
| ขั้นตอนที่ 2 | สร้างแหล่งจ่ายกระแสคงที่ ขนาด ± 10 A |
| ขั้นตอนที่ 3 | สร้างชุด sweep-current source |
| ขั้นตอนที่ 4 | สร้างเตาไฟฟ้าอุณหภูมิ 1100 °C |
| ขั้นตอนที่ 5 | สร้างชุดวัดอุณหภูมิวิกฤติ |
| ขั้นตอนที่ 6 | ประกอบส่วนต่าง ๆ เข้าเป็นชุดวัดอุณหภูมิวิกฤติของสารแม่เหล็ก |
| ขั้นตอนที่ 7 | ทดสอบการทํางาน |
| ขั้นตอนที่ 8 | สรุปและรายงานผล |

10. ขอบเขตของการวิจัย

- 10.1 สร้างและพัฒนาชุดวัดอุณหภูมิวิกฤติของสารแม่เหล็ก
- 10.2 ทดลองใช้ชุดวัดอุณหภูมิวิกฤติของสารแม่เหล็กกับสารแม่เหล็กชนิดต่าง ๆ ที่มีอยู่ในท้องตลาด

เอกสารนี้เป็นเอกสารที่สงวนไว้สำหรับการใช้งานเพื่อการศึกษาเท่านั้น ไม่อนุญาตให้นำไปใช้ประโยชน์ด้านการค้าไม่ว่ากรณีใดๆทั้งสิ้น อีกทั้งห้ามมิให้ดัดแปลงเนื้อหา และต้องอ้างอิงถึงเจ้าของเอกสารทุกครั้งที่มีการนำไปใช้